

1/80

Ministère de l'Enseignement Supérieur et de la Recherche Scientifique

U.S.T.D

1 ex

Ecole

Nationale

D)

Polytechnique d'Elger

Dpt. Génie MECANIQUE

جامعة للعلوم الهندسية  
لكلية الهندسة

PROJET DE FIN D'ETUDES  
BIBLIOTHEQUE

Etude de l'adaptation d'un  
Moteur à essence au gaz naturel

Sujet proposé par  
Mr. C. DOBRE

étudié par  
Mr. A. ABDELMOULEM



promotion Janvier 1980



**USTA**

Ecole

Nationale Polytechnique d'Algier

Dpt Mecanique

PROJET de fin d' ETUDES

Etude de l'adaptation d'un moteur à essence au G.N

sujet proposé par  
C. DOBRE

étudie par  
A. ABDELMOUNEN

promotion : 1980

Je remercie vivement :

- Mr . C. DOBRE qui m'a chargé de cette étude et qui l'a suivie avec bienveillance .

- Mr . A. Hamlati qui m'a aidé dans cette recherche .
- Mr . M. Boufrouqa mécanicien qui a su accomplir sa tâche
- Mr . M. Santadjii : Tounour
- Mr . A . Benafla : Magasinier
- Mr . A . Idir : - " -

Et toutes les personnes qui ont contribué à ma formation

## Table des matieres

avant propos	1
chap I: Generalite sur les Combustibles Gazeux	2
chap II Etude Thermique	9
chap III Etude Carburation	31
chap IV Essais et mesures	36
chap V Interpretation et Suggestion	62
Conclusion	67
Bibliographie et annexes en fin de Volume	

Il est un problème important, et dont en fait on ne parle pas tellement. C'est le problème des carburants de substitution.

On parle des énergies nouvelles; géothermie, solaire, et nucléaire; génératrices de chaleur et/ou d'électricité, en pensant que les solutions pour les carburants « suivront ».

En fait, ces solutions sont nombreuses, sinon toujours faciles et (ou) économiques: de l'acétylène aux huiles végétales. Mais il semble qu'il n'y ait pas d'urgence.

Quand ils seront nécessaire, les carburants de substitution seront sans doute bien au point, et la TRANSITION devrait se faire sans heurt.

Les réserves mondiales de Gaz Naturel, chiffrées par les Experts à la Conférence d'Istanbul sont du même ordre que les réserves de pétrol conventionnel: 70 GTep (70.10<sup>12</sup> tonne, équivalent pétrol) prouvés; 200 GTep à découvrir, mais une partie bien inférieure des réserves prouvées sont utilisées. Car, là encore, on se heurte à des limites économiques.

L'objet de notre sujet consiste non seulement à l'étude de la conversion d'un moteur à essence au gaz, mais d'essayer une utilisation plus rationnelle, c'est-à-dire une étude sur les mélanges pauvres.

# Généralités sur les Combustibles Gazeux.

## I Introduction

Les moteurs à combustions internes peuvent être alimentés par les différents gaz industriels combustibles ; qui, suivant leur pouvoir calorifique peuvent influer sur la puissance utile pour une cylindrée donnée.

Les principaux gaz utilisés sont :

- Les gaz de haut fourneau.
- Le gaz de Gazogene (anthracite).
- Le gaz de Gazogène (Coke).
- Le gaz de four à Coke
- Et le gaz de forage appelé Gaz Naturel.

## II Composition chimique des Gaz combustibles :-

### II - 1 Le Gaz Naturel :-

Le principal composant du Gaz naturel est le Methane, il se trouve en forte proportion (de 60 à 90% environ) et imprime donc ses propriétés au Gaz. En ALGERIE, il existe quatre (4) sortes de Gaz naturels dont nous donnerons les compositions massiques sur le tableau suivant.

Constituants	Gaz N. d'Arzew	G.N de Skikda	G.N de SONELGAZ	G.N brut de Hassi R'mel
N <sub>2</sub>	0.5	1.0	7.83	6.64
CO <sub>2</sub>	-	-	0.43	0.38
CH <sub>4</sub>	87.8	92.8	73.11	53.48
C <sub>2</sub> H <sub>6</sub>	8.4	5.4	12.12	9.50
C <sub>3</sub> H <sub>8</sub>	2.4	0.6	4.9	7.24
iso C <sub>4</sub> H <sub>10</sub>	0.4	0.1	0.53	1.53
n C <sub>4</sub> H <sub>10</sub>	0.5	0.1	0.85	2.72
iso C <sub>5</sub> H <sub>12</sub>	0.05	-	0.12	1.11
n C <sub>5</sub> H <sub>12</sub>	0.05	-	0.12	1.47
C <sub>6</sub> H <sub>14</sub>	-	-	-	2.16
C <sub>7</sub> H <sub>16</sub>	-	-	-	2.39
C <sub>8</sub> H <sub>18</sub>	-	-	-	2.19
C <sub>9</sub> H <sub>20</sub>	-	-	-	2.02
C <sub>10</sub> H <sub>22</sub>	-	-	-	1.64
C <sub>11</sub> H <sub>24</sub>	-	-	-	1.40
C <sub>12</sub> H <sub>26</sub>	-	-	-	4.13

( Ces chiffres sont purement indicatifs, pour de plus amples renseignements, consulter la Sonatrach.)

## II - 2 Le G.N.L (gaz naturel liquéfié).

Le G.N.L est obtenu par liquefaction du gaz naturel. Parmi ses dérivés les plus importants on retient le G.N.L humide, car il contient des hydrocarbures lourds ayant des P.C.I élevés.

## II - 3 Les Gaz de Pétrole.

Ces gaz sont essentiellement constitués de propane ( $C_3H_8$ ) et de butane ( $C_4H_{10}$ ), et ils proviennent soit :

- de la distillation du pétrol brut
- de dégazolivage des Gaz Naturels.

## III - Le Pouvoir Calorifique.

Le pouvoir calorifique d'un combustible gazeux est un des paramètres les plus importants, il dépend de la composition du gaz et est donné par la formule suivante :-

$$P_{cg} = \frac{\sum_{i=1}^n p_i (\text{kcal/mole})_i \times x_i}{\sum_{i=1}^n (V_{m_i} \cdot x_i)}$$

Avec :-

$P_{cg}$  = pouvoir calorifique du G.N.

$p_i$  = " " " " " du corps "i"

$x_i$  = fraction molaire du corps "i"

$V_{m_i}$  = Volume molaire " " " "

A titre indicatif pour les Gaz Algériens on peut voir au tableau suivant les différents valeurs de p.c.i

Gaz	$p_{ci}$
G.N. Arzew	11816 kcal/kg
G.N. Skikda	11798 " "
G.N. SONELGAZ	10837 " "
G	Propane commercial
P	Butane commercial
L	

21915 kcal/ $m^3N$

28 000 kcal/ $m^3N$

## IV - Phénomène d'Inflammabilité.

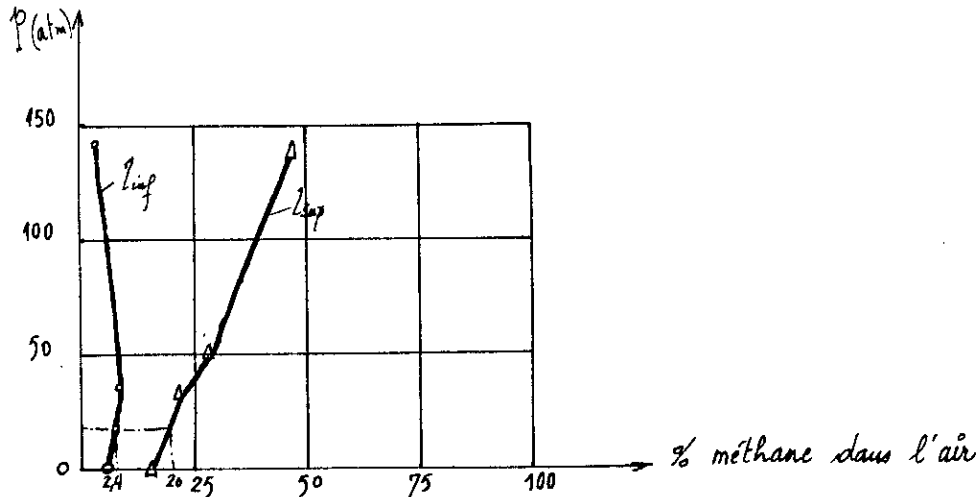
lorsqu'on considère un mélange gazeux d'un combustible

(composé réducteur) et d'un comburant (composé oxydant) - les limites d'inflammabilité sont conventionnellement définies comme étant les pourcentages extrêmes en combustible entre lesquels le mélange est inflammable. On distingue donc une limite supérieure et une limite inférieure d'inflammabilité. Et cette définition reste encore valable lorsqu'un gaz totalement inerte (ex:  $N_2$ ) est également présent dans le mélange.

Pour des conditions normale, d'après (Van TIGGLEN), les limites de mélange ( $Au + Méthane$ ) sont :-

$$\begin{cases} \text{- limite inférieure d'inflammabilité} & = 5.0 \% \\ \text{- " supérieure " } & = 15 \% \\ \text{- Température d'auto-inflammation} & = 580^\circ C \end{cases}$$

Ces limites varient avec la pression de la façon suivante.



On peut interpoler pour notre cas critique de feu de compression, où notre mélange ( $Au + GN$ ) atteint l'ordre de 15 atm, d'où les valeurs suivantes :-

$$\begin{cases} \text{Lim inf} = 2.4 \% \\ \text{Lim sup} = 20 \% \end{cases}$$

d'où les contraintes sur les dosages :-

la limite inférieure d'inflammabilité du mélange correspond à un dosage  $\varphi$  inférieur tel que :-

$$\varphi_{mi} = \frac{\text{Lim inf} \cdot 2.4}{100} = \frac{16.109 \cdot 2.4}{100} = 0.98$$

De même qu'un dosage maximum de

$$\varphi_{max} = \frac{\text{Lim sup} \cdot 20}{100} = 3.22$$

Au delà de ces deux valeurs de dosage  $\varphi_{min}$ ;  $\varphi_{max}$ , le mélange en feu de compression ne sera pas inflammable sur contact d'une étincelle électrique.

Les essais réalisés sur le banc, ont confirmé ces propos.

## Indice d'octane des carburant gazeux.

La tendance au cliquetis d'un combustible gazeux nous renseigne sur le Nombre d'octane, elle dépend de la nature de la molécule. D'une manière générale, l'indice d'octane décroît du côté des hydrocarbures lourds.

Pour des raisons de logique, on exprime le pouvoir antidiétonant des gaz combustibles par le « Nombre de méthane » que par le nombre d'octane (qui est réservé aux combustibles liquides).

On compare ainsi un combustible gazeux à un mélange de référence composé de méthane et d'hydrogène, la teneur en méthane du mélange de référence donnant la même intensité de cognement sur un moteur C.F.R (Cooperative - Fuel - Research). Que le combustible testé, définit le nombre de METHANE.

Par définition on pose:-

$$\begin{array}{ccc} \text{CH}_4 & \longrightarrow & \text{Nbre de méthane} \quad 100 \\ \text{H}_2 & \longrightarrow & " \quad " \quad 0 \end{array}$$

Et le Nombre de méthane d'un mélange de gaz est donné par la formule suivante :-

$$Nbre de Methane = \sum_{i=1}^n Y_i N_m^i$$

$N_m^i$  = Nbre de méthane du composant "i"

$Y_i$  = pourcentage en volume du composant "i"

Et pour les différents gaz on peut dresser le tableau suivant :-

combustibles Gazeux	Nombre de méthane
méthane CH <sub>4</sub>	100
Ethane C <sub>2</sub> H <sub>6</sub>	44
propane C <sub>3</sub> H <sub>8</sub>	34
butane C <sub>4</sub> H <sub>10</sub>	10
Propylène C <sub>3</sub> H <sub>6</sub>	19
Hydrogène	0

Pour le Gaz Naturel SONELGAZ le nombre de Methane est:-

N.M = 88,65

## ⇒ Avantages Généraux des combustibles gazeux.

Les différentes propriétés physiques des gaz, offrent des avantages séduisants, comparativement aux combustibles et carburants traditionnels.

En premier lieu, on dira que la marche au gaz d'un moteur présente l'avantage de sa PROPRETE.

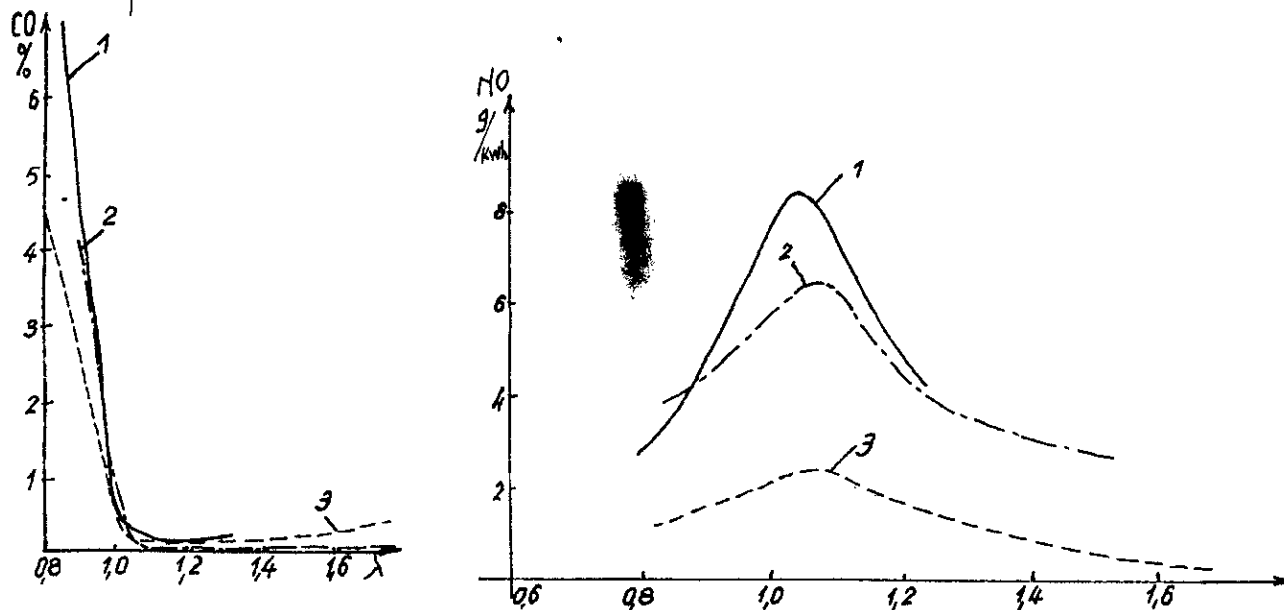
En effet la combustion du Gaz donne moins d'imbûles qu'un carburant liquide, et de même l'excès d'air de combustion pouvant en général être réduit.

A l'intérieur des chambres, les produits de combustion ne comportent pratiquement pas de résidus solide, soufrés, ou carbonnés  $\Rightarrow$  les dépôts de calamine sont réduits.

Outre la propreté du gaz et l'absence d'imbûles, nous pouvons supposer à la réduction assez nette de l'Usure du fait que le graissage est correct et que la dilution de l'huile est pratiquement inexistant.

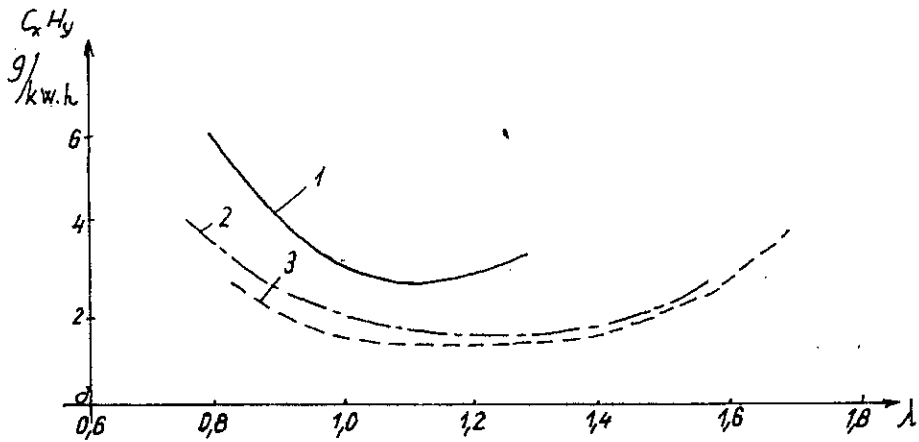
La volatilité du Gaz entraîne une répartition équitable de la charge entre les cylindres, et une bonne régularité de marche.

Un autre facteur important, qui favorise la marche au gaz relativement à d'autres combustibles, est la réduction de la teneur de CO, NO<sub>x</sub> et CxHy dans les gaz d'échappement ; Les courbes suivantes nous permettent de mieux réaliser cette comparaison.



Ces courbes ont été établies pour les 3 gaz suivants :-

- 1 - Essence
- 2 - Gaz Méthane
- 3 - Gaz de Gazogène .



pour notre cas où le combustible utilisé est du Gaz Naturel, la teneur maximale des gaz toxiques dans l'échappement (avec  $\lambda = 1,1$ ) est :-

- moins de 0,2 % pour le CO
- moins de 4,5 g/ch.h pour le NO
- moins de 3 g/ch.h pour les Hydrocarbures GHy.

Comme que pour l'essence (avec  $\lambda = 0,9$ ) elles se montent à :-

- près de 5 % pour le CO
- plus de 6 g/ch.h pour le NO
- et d'avantage pour les Hydrocarbures (plus de 5 g/ch.h).

On voit bien l'importance de l'utilisation du gaz naturel; de nos jours où le cri d'Alarme, de par le monde, est lancé, afin de réduire les éléments polluants.

Le gaz Naturel, est le combustible qui répond le mieux aux restrictions les plus sévères imposées dans certains pays développés, et qui sont déjà au stade de l'application.

## VII Choix du Combustible

Le choix du combustible gazeux dépend principalement de la disponibilité du Gaz; et de facilité d'approvisionnement.

Dans le cas où plusieurs gaz satisfont ces deux critères, le choix serait subordonné aux pouvoirs calorifiques (p.c.i); à la composition et bien entendu à la propreté relative, ... etc.

La disponibilité du Gaz de ville à travers le territoire National nous permet de le choisir; bien que sa teneur en Azote soit plus élevée que celles des G.P.L ou G.N.L.

Ce gaz de distribution offre plusieurs commodités technologiques qui sont assez importantes, en effet, les problèmes posés par le stockage sont moins.

## VIII Equipment pour l'Alimentation au Gaz.

La conversion des véhicules au G.H.C n'est pas une opération complexe. Elle consiste à installer les pièces suivantes :

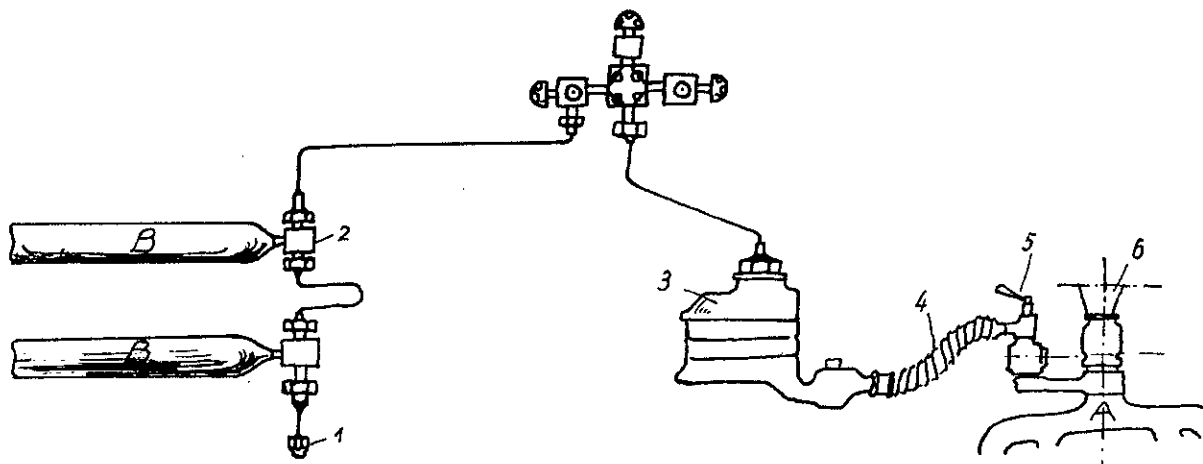
- Un réservoir cylindrique en métal rigide qui est placé (selon le type de véhicule) dans le coffre. Celui-ci est muni d'une jauge de mesure et d'une soupape de sûreté.

- Un réducteur de pression : appelé parfois détendeur ou vaporisateur (dans le cas de la conversion au G.P.L). Il comprend généralement 2 ou 3 chambres, et est chauffé par de l'eau chaude provenant du radiateur. Dans ce réducteur, existe une vis de réglage qui sert à ajuster le débit de sortie en fonction de la puissance du moteur.

- Un mélangeur : qui est placé à l'entrée du carburateur. Il sera étudié en détail dans le chapitre "Carburation".

- Un commutateur : placé à portée de la main du conducteur. Ce commutateur actionne deux (2) électrovannes et sert à commander l'arrivée du G.H. comprimé ou celle de l'essence comme carburant pour le moteur.

La distribution du G.H.C ou G.P.L se fait dans les stations service ordinaires, équipées d'un volucompteur de G.P.L (ou G.H.C) actionné par une citerne. L'apparence extérieure du volucompteur de gaz est la même que celle des volucompteurs distribuant de carburants classique.



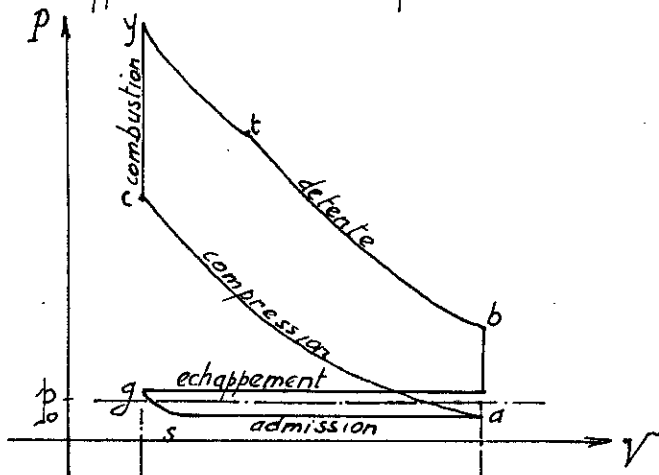
- A - admission moteur "
- B - Bouteille G.H.C (H.P.).
- 1 - Ecrou borgne
- 2 - Té de bouteille
- 3 - Détendeur
- 4 - Tuyau caoutchouc
- 5 - Mélangeur Gaz
- 6 - Carburateur Essence.

# Etude Thermique

L'objet de cet exposé étant l'adaptation d'un moteur essence pour la marche au gaz ; C'est en quelques sortes, une comparaison de performance pour ces deux combustibles. Il nous paraît assez important de faire une étude thermique détaillée, qui, à son tour fournira des outils de démonstration appréciables.

Cette étude s'étalera sur différents points. entre autres, le calcul de pression et de température pour tout les points du cycle ainsi que l'évaluation des différents paramètres.

Le cycle cherché est évidemment le cycle de "Beau-de-Rochas", et en première approximation on prendra le modèle suivant.



Les paragraphes étudiés seront pour les différents cycles.

- I) Calcul du processus d'admission
- II) Paramètres en fin de compression
- III) " - " après combustion
- IV) " - " en fin de détente
- V) Calcul de la pression indiquée et de la puissance

# - Etude du cycle à Gaz ( $\lambda_1 = 1,1$ )

## I Calcul du processus d'admission.

### I.1 Hypothèses :-

on fait les suppositions suivantes :-

- la charge admise est un gaz parfait, et inerte du point de vue chimique

- l'écoulement est isentropique (adiabatique reversible).

- L'énergie cinétique des gaz frais se transforme totalement en chaleur.

- L'admission est isobare.

- On considère les ouvertures et les fermetures des soupapes avec avance ou retard par rapport au P.M.

- La charge fraîche se chauffe dans le collecteur d'admission

- Le fluide moteur est formé de mélange des gaz résiduels ainsi que de la charge fraîche.

- La vitesse d'écoulement moyenne est constante.

### I.2 Calcul de la pression d'admission.

Par combinaison des équations de conservation d'énergie, d'écoulement ainsi que celle de continuité, on tire l'équation donnant la pression d'admission  $p_a$  en fonction de différents paramètres.

$$p_a = \frac{p_0}{\sigma} \left( 1 - \frac{N^2}{1800 \cdot g \cdot \frac{\gamma}{\gamma-1} \cdot p_0 v_0} \cdot \frac{1}{(\mu_a \varphi_a)^2} \cdot \frac{[\epsilon - \gamma p]^2}{[\epsilon - 1]} \cdot \frac{1}{(f_{m0}/V_c)^2} \right)^{\frac{1}{\gamma-1}}$$

Avec :-

$$p_0 = 101300 \text{ Pa} ; \gamma = \text{coeff. adiabatique} = 1,4 ; g = 9,81 \text{ m/s}^2$$

$$\text{on tire;} 1800g \cdot \frac{\gamma}{\gamma-1} \cdot p_0 v_0 = 5,2 \cdot 10^8 \text{ m}^2/\text{s}^2$$

$$\mu_a \varphi_a = \text{coeff. de débit} = 0,7 ; \mu = \text{coeff. de volume de gaz résiduel} = 0,5$$

$$\epsilon = 0,6 ; f = \text{coeff. de balayage} = 1 ; \sigma = \text{coeff. de moyennage} = 0,98$$

$$f_{m0} = \text{section moyenne de soupape} = 3,63 \text{ cm}^2 ; V_c = \text{volume de la cylindrée} = 0,365 \text{ l}$$

enfin l'on tire  $p_a$  :-

$$p_a = 0,83 \text{ kgf/cm}^2$$

### 3 Calcul du rendement volumétrique.

Compte tenu de ce qui a été dit précédemment, le rendement volumétrique est donné par la formule suivante :

$$\eta_v = \frac{\nu}{\theta} \cdot \frac{1}{\gamma(\epsilon-1)} \cdot \frac{p_0}{p} \left( \epsilon + (\gamma-1)(\epsilon-1)\sigma - \frac{p_g}{p_0} \cdot \rho \right)$$

avec :-

$\nu$  = coefficient de charge supplémentaire = 1,1

$$\theta = \frac{T_0 + \Delta T}{T_0} = 1,12$$

$p$  =  $T_0$  pression des gaz à l'échappement = 1,10 kgf/cm<sup>2</sup>

$\gamma p$  = coefficient de balayage = 1.

on trouve :-

$$\eta_v = 0.775$$

### 4 Calcul de la température en fin d'admission.

Celle-ci est donnée par :-

$$T_a = T_0 \cdot \frac{p}{p_0} \cdot \frac{\epsilon}{\epsilon-1} \cdot \frac{1}{\eta_v \left( \frac{1}{C_p} + \frac{1}{\nu} - 1 \right)}$$

avec :-

$$T_0 = 298 \text{ } ^\circ\text{K}$$

$\eta_v = 0,775$  ;  $\nu = 1,1$  ; et  $p = 0,83 \text{ kgf/cm}^2$  ;  $p_0 = 1,013 \text{ kgf/cm}^2$  ;  $\epsilon = 8,5$

$C_p$  = coefficient de pureté qui est donnée par :

$$C_p = \frac{1}{1 + \rho \frac{p_g}{p_0} \cdot \frac{T_0}{T_g} \cdot \frac{1}{(\epsilon-1)\eta}}$$

En remplaçant les différents facteurs par leur valeur, l'on tire  $C_p$

$$C_p = 0.95$$

et enfin l'on trouve  $T_a$  :-

$$T_a = 405,6 \text{ } ^\circ\text{K}$$

## II Paramètres en fin de compression

### II-1 Hypothèses

on considère que la compression est une transformation polytropique à coefficient  $m_c$  constant.

### II-2 Calcul de la pression $p_c$ et de la température $T_c$ .

$$- p_c = p_a E^{m_c} \quad \text{avec} \quad \begin{cases} m_c = 1,35 \\ p_a = 0,83 \text{ kgf/cm}^2 \\ E = 8,6 \end{cases}$$

d'où

$$- T_c = T_a E^{m_c - 1} \quad \boxed{p_c = 15,15 \text{ kgf/cm}^2}$$

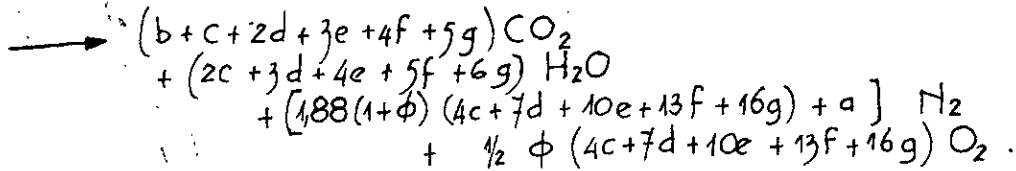
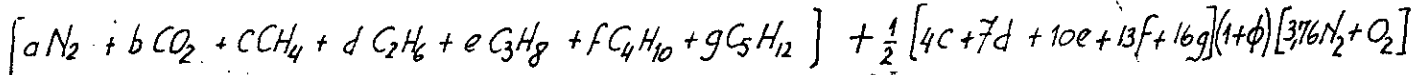
$$\boxed{T_c = 860^\circ K}$$

## III Paramètres d'Etat après combustion

### III-1 Hypothèses

- On a des transformations simples : (isotherme + isochore).
- Les chaleurs spécifiques varient avec la température
- On tiendra compte de la chaleur échangée avec les parois
- On admet que le changement de la composition chimique du fluide moteur a lieu à la fin de compression.
- Le gaz de combustion n'est pas considéré comme dissocié.
- Tout l'oxygène de l'air est utilisé pendant la combustion.

### III-2 Équation de la réaction de combustion



- Les coefficients ( $a, b, c, d, e, f, g$ ) correspondent aux pourcentages relatifs de chaque élément constituant le gaz naturel.

Et dans 100 moles de GN on a :-

$a = 5,18$  moles de  $N_2$ ;  $b = 0,18$  moles de  $CO_2$ ;  $c = 84,62$  moles de  $CH_4$   
 $d = 7,48$  moles de  $C_2H_6$ ;  $e = 2,06$  moles de  $C_3H_8$ ;  $f = 0,44$  mole de  $C_4H_{10}$   
et enfin  $g = 0,06$  moles de  $C_5H_{12}$ .

Dans ce cas la masse moléculaire du gaz naturel sera :-

$$M_{\text{mol}} = (5,18 \cdot 28) + (0,18 \cdot 44) + (84,62 \cdot 16) + (748 \cdot 30) + (2,06 \cdot 44) + (0,44 \cdot 58) + (0,06 \cdot 72)$$

d'où  $M_m = 18,51 \text{ gr/mole}$

III-3 Concentration massique des différents éléments constitutants du G.N

III-3-1. le Carbone :- [C]

$$\% C = \frac{0,18 + 84,62 + 2(7,48) + 3(2,06) + 4(0,44) + 5(0,06)}{18,51} \cdot 12 \Rightarrow [C] = 69,99 \%$$

ou :-  $[C] = 0,6999 \text{ kg/kg de G.N.}$

III-3-2. l'oxygène :- [O]

$$\% O = \frac{2 \cdot 0,18 \cdot 16}{18,51} \Rightarrow [O] = 0,3111 \%$$

ou :-  $[O] = 0,00311 \text{ kg/kg de G.N.}$

III-3-3. l'Hydrogène :- [H]

$$\% H = \frac{(4 \cdot 84,62) + (6,748) + (8 \cdot 2,06) + (10 \cdot 0,44) + (12 \cdot 0,06)}{18,51} \cdot 1 \Rightarrow [H] = 21,87 \%$$

ou :-  $[H] = 0,2187 \text{ kg/kg de G.N.}$

III-3-4. l'Azote :- [N].

$$\% N = \frac{2 \cdot 5,18 \cdot 14}{18,51} \Rightarrow [N] = 7,835$$

ou :-  $[N] = 0,0783 \text{ kg/kg de G.N.}$

III-4 Calcul de la quantité d'Air.

III-4-1 Air théorique :-  $L_{\text{th}}$

$$L_{\text{th}} = \frac{1}{0,21} \left( \frac{[C]}{12} + \frac{[H]}{4} - \frac{[O]}{32} \right)$$

d'où

$$L_{\text{th}} = 0,5376 \text{ kmole Air/kg G.N}$$

III-4-2 Air réellement Utilisé :-

$$L = \lambda L_{\text{th}} \quad \text{avec} \quad \lambda = 1,1$$

d'où  $L = 0,59136 \text{ kmole Air/kg G.N}$

$L = 0,59136 \text{ kmole Air/kg G.N}$

### III 5. Composition des gaz de Combustion

$$n_{CO_2} = \frac{[C]}{12} = \frac{0.6999}{12} \quad \text{d'où} \quad n_{CO_2} = 0.05832 \text{ kmole/kg de G.N}$$

$$n_{H_2O} = \frac{[H]}{2} = \frac{0.2187}{2} \quad \text{d'où} \quad n_{H_2O} = 0.10935 \text{ kmole/kg de G.N}$$

$$n_{O_2} = [O_2] L_{the} (\lambda \cdot 1) = 0.21 \cdot 0.5376 (0.1) \quad n_{O_2} = 0.01128 \text{ kmole/kg de G.N}$$

$$n_{H_2} = 0.79 \lambda L_{the} = 0.79 \cdot 11 \cdot 0.5376 \quad n_{H_2} = 0.46717 \text{ kmole/kg de G.N}$$

Et le nombre total de mole en fin de combustion

$$n_f = n_{CO_2} + n_{H_2O} + n_{O_2} + n_{H_2}$$

d'où

$$n_f = 0.646125 \text{ kmole/kg de G.N.}$$

De même le coefficient chimique de variation molaire sera :-

$$\mu_{ch} = \frac{n_f}{n_0} \quad \text{avec} \quad n_0 = \lambda \cdot L_{the} + \frac{1}{18.51} = 0.64538 \text{ kmole/kg de G.N.}$$

d'où

$$\mu_{ch} = 1.0091$$

### III 6. Participation molaire de chaque constituant dans les Gaz d'Echappement

$$\tau_{CO_2} = \frac{n_{CO_2}}{n_f} \quad \tau_{CO_2} = 0.0902$$

$$\tau_{H_2O} = \frac{n_{H_2O}}{n_f} \quad \tau_{H_2O} = 0.169$$

$$\tau_{O_2} = \frac{n_{O_2}}{n_f} \quad \tau_{O_2} = 0.0174$$

$$\tau_{H_2} = \frac{n_{H_2}}{n_f} \quad \tau_{H_2} = 0.723$$

### III 7 Bilan Énergétique

Le bilan énergétique du point "c" au point "t" s'établit comme suit :

$$Q_r = \Delta U_{c-t} + A L_{c-t} + Q_p$$

avec :

$Q_r$  = chaleur de réaction chimique

$\Delta U_{c-t}$  = Variation d'énergie interne de "c" à "t"

$A L_{c-t}$  = travail échangé

$Q_p$  = chaleur échangée avec les parois

en prenant :-

$$Q_r = Q_i = 10837 \text{ kcal/kg de G.N}$$

et  $\Delta U_{c-t} = \Delta U_{c-y} + \Delta U_{y-t} = \Delta U_{c-y}$  car la transformation (y-t) est une isotherme et  $\Delta U_{y-t} = 0$

On considère aussi que :  $\Delta L_{c-t} = \Delta L_{c-y} + \Delta L_{y-t} = \Delta L_{y-t}$  car la transformation ( $c-y$ ) est isochore ( $V=cste$ ) et par conséquent le travail engendré est nul. donc

$$\Delta L_{c-t} = \Delta L_{y-t} = \varphi_t \varphi_y Q_r$$

avec

et  $\varphi_t = \text{coefficent de dégagement isothermique de la chaleur}$   
 et  $\varphi_y = -\text{d'Utilisation de la chaleur}$ .

et de la même manière on prendra :

$$\Delta U_{c-y} = \varphi_t Q_r (1 - \varphi_t)$$

et enfin  $Q_{p_{c-t}} = -\varphi_t Q_r + Q_r = Q_r (1 - \varphi_t)$ .

En revenant à l'énergie interne on aura :

$$\Delta U_{c-y} = [U_y - U_o]_{g.\text{comb}} - [U_c - U_o]_{\text{mélange frais}}$$

$$= m_f (u_y - u_o)_{\text{finale}} - m_i (u_c - u_o)_{\text{initiale}}$$

avec :  $m_f = \text{nombre de moles finales}$

$m_i = \text{'' '' '' initiales}$

$u = \text{Energie interne spécifique [kcal/kmole]}$ .

$m_i$  sera :

$$m_i = m_{mf} + n_{gr} = n_{mf} (1 + \delta_r) \quad \text{avec } \delta_r = \text{coefficient de Gaz résiduels}$$

$$\delta_r = \frac{1}{C_p} - 1 \quad \text{comme } C_p = 0.95 \quad (\text{voire page}) \quad \text{donc } \delta_r = 0.05263$$

et comme  $n_f = n_{mf} (\mu_{ch} + \delta_r)$  on tirera le coefficient de variation totale de mole (real) :  $\mu_t$

$$\mu_t = \frac{n_f}{n_i} \Rightarrow \mu_t = \frac{\mu_{ch} + \delta_r}{1 + \delta_r}$$

et en remplaçant chaque élément par sa valeur on obtient :

$$\boxed{\mu_t = 1,001}$$

Et en définitive l'équation de réaction s'écritra :

$$\frac{\varphi_t Q_r (1 - \varphi_t)}{n_{mf} (1 + \delta_r)} + (u_c - u_o)_i = \mu_t (u_y - u_o)_f$$

et en prenant :  $\varphi_t = 0.25$ ;  $\varphi_y = 0.9$ ;  $Q_r = 10837 \text{ kcal/kg de GN}$

et  $n_{mf} = \lambda L_{\text{th}\ell} + \frac{1}{18.51} = 0.64538 \text{ kmole de Gaz frais}$ ; l'équation de réaction deviendra :-

$$10767,97 + (u_c - u_o)_i = 1,001 (u_y - u_o)_f \quad (i)$$

Cette équation nous permet de déterminer  $T_y$ . car  $du = Cv dT$  or  $Cv$  change avec  $T$  et on la prendra comme une fonction quadratique du 4<sup>e</sup> degré en fonction de  $T$ ;  $Cv = a + bT + cT^2 + dT^3 + eT^4 + \dots$  et par intégration on obtiendra pour le premier membre de (i) :-

$$(u_c - u_o)_i = a_i [T_c - T_0] + \frac{b_i}{2} [T_c^2 - T_0^2] + \frac{c_i}{3} [T_c^3 - T_0^3] + \frac{d_i}{4} [T_c^4 - T_0^4] + \frac{e_i}{5} [T_c^5 - T_0^5].$$

et de la même manière pour le second membre :-

$$(u_y - u_o)_f = a_f [T_y - T_0] + \frac{b_f}{2} [T_y^2 - T_0^2] + \frac{c_f}{3} [T_y^3 - T_0^3] + \frac{d_f}{4} [T_y^4 - T_0^4] + \frac{e_f}{5} [T_y^5 - T_0^5].$$

### III - 7 - 1 Détermination des coefficients ( $a_i, b_i, \dots, e_i$ ).

$$\left\{ \begin{array}{l} a_i = a_{air} r_{air} + a_{GN} r_{GN} \\ b_i = b_{air} r_{air} + b_{GN} r_{GN} \\ c_i = c_{air} r_{air} + c_{GN} r_{GN} \\ d_i = d_{air} r_{air} + d_{GN} r_{GN} \\ e_i = e_{air} r_{air} + e_{GN} r_{GN} \end{array} \right.$$

$$\text{or } r_{air} = \frac{\lambda L_{\text{thé}}}{\lambda L_{\text{thé}} + \frac{1}{18,51}} = 0,9162.$$

$$r_{GN} = \frac{1/18,51}{\lambda L_{\text{thé}} + \frac{1}{18,51}} = 0,0837$$

Pour le méthane et pour une plage de température [225°K - 1150°K]

$C_V = [23,925 + 33,496 \cdot 10^{-3} t] \quad \left\{ \begin{array}{l} [C_V] = \text{kJ/kmole}^\circ\text{K} \\ [t] = ^\circ\text{C} \end{array} \right.$   
et pour avoir  $C_V$  en Kcal/kmole°K et  $t$  en °K on fait la transformation suivante

$$C_V = \frac{23,925}{4,18} + \frac{33,496}{4,18} \cdot 10^{-3} [T - 273] \quad \text{et on obtient en définitive : -}$$

$$C_V = 3,535 + 8,033 \cdot 10^{-3} T$$

Avec un extrait sur les valeurs des coeff. ( $a_{air}, b_{air}, \dots$ ) et pour la même plage de température on peut dresser le tableau suivant :-

Coefficient	a	b	c	d	e
Air	4,9150	-0,373 $10^{-3}$	2,272 $10^{-6}$	0,912 $10^{-9}$	0
G.N	3,535	8,033 $10^{-3}$	0	0	0

d'ici on peut dire :-

$$\left\{ \begin{array}{l} a_i = 4,799 \\ b_i = 0,33 \cdot 10^{-3} \\ c_i = 2,081 \cdot 10^{-6} \\ d_i = 0,835 \cdot 10^{-9} \\ e_i = 0 \end{array} \right.$$

### III - 7 - 2 Détermination des coefficients ( $a_f, b_f, \dots, e_f$ )

$$\left\{ \begin{array}{l} a_f = a_{CO_2} r_{CO_2} + a_{H_2O} r_{H_2O} + a_{N_2} r_{N_2} + a_{O_2} r_{O_2} \\ b_f = b_{CO_2} r_{CO_2} + b_{H_2O} r_{H_2O} + b_{N_2} r_{N_2} + b_{O_2} r_{O_2} \\ c_f = c_{CO_2} r_{CO_2} + c_{H_2O} r_{H_2O} + c_{N_2} r_{N_2} + c_{O_2} r_{O_2} \\ d_f = d_{CO_2} r_{CO_2} + d_{H_2O} r_{H_2O} + d_{N_2} r_{N_2} + d_{O_2} r_{O_2} \\ e_f = e_{CO_2} r_{CO_2} + e_{H_2O} r_{H_2O} + e_{N_2} r_{N_2} + e_{O_2} r_{O_2} \end{array} \right.$$

Les participations molaire de chaque éléments sont calculées en III.6, page et soit l'extract de Tableau sur les différentes valeurs de coefficients ( $a, b, c, d, e, f$ ).

Coefficient	$a$	$b \cdot 10^{-3}$	$c \cdot 10^{-6}$	$d \cdot 10^{-9}$	$e \cdot 10^{-12}$	$r$
$CO_2$	3.114	15.012	-9.848	2.952	0.3294	0.0902
$H_2O$	5.8092	-0.218	4.388	-3.495	2.077	0.169
$N_2$	3.7905	3.249	-1.204	0.162	0	0.723
$O_2$	4.1810	0.3358	-1.450	0.242	0	0.0174

d'où les valeurs suivantes :-

$$\left\{ \begin{array}{l} a_f = 4.0759 \\ b_f = 3.681 \cdot 10^{-3} \\ c_f = -1.042 \cdot 10^{-6} \\ d_f = -0.203 \cdot 10^{-9} \\ e_f = 0.380 \cdot 10^{-12} \end{array} \right.$$

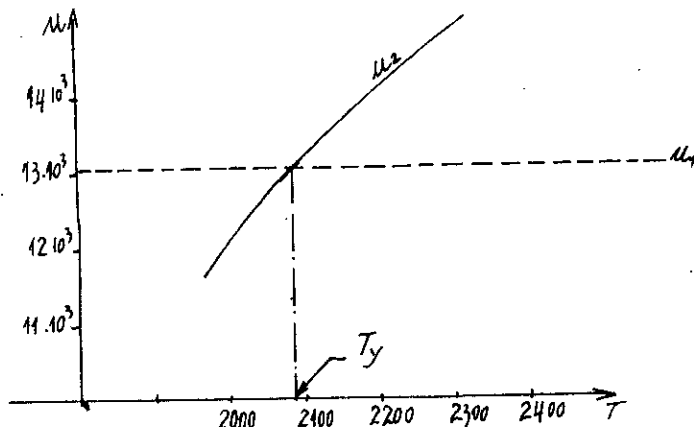
### III - 7 - 3 Détermination de la température de feu de combustion $T_y$ .

en sachant que la température de feu de compression  $T_c = 860^\circ K$  et en prenant comme référence  $T_0 = 500^\circ K$  on pourra écrire :-

$(u_c - u_0)_f = 2251.8 \text{ kcal/kmole}$  l'équation (i) deviendra :-

$$13019.7 = 1.001 (u_y - u_0)_f \quad (ii)$$

et comme  $(u_y - u_0)_f = 4.075 (T_y - 500) + \frac{3.681}{10^3} (T_y^2 - 500^2) + \dots + \frac{0.38}{10^{12}} (T_y^5 - 500^5)$ .  
en tracant les courbes  $u_1 = (13019.7)/1.001 = f(T)$  et  $u_2 = (u_y - u_0)_f = f(T)$ , leur intersection nous donnera  $T_y$ .



$$T_y = 2090^\circ K$$

### II - 7 - 4 Détermination de $p_y$ .

connaissant  $T_y \Rightarrow$  Calculons  $p_y$ :  $p_y v_y = m_f R T_y$  et  $p_c v_c = m_i R T_c$

d'où l'on tire

$$p_y = p_c \cdot \frac{T_y}{T_c}$$

$$p_y = 36,8 \text{ kgf/cm}^2$$

### III - 8. Paramètres d'Etat en "t"

La transformation  $y \rightarrow t$  étant isotherme on a évidemment

Et on note avec  $\delta_t$  le rapport volumétrique  $\frac{V_t}{V_y}$   
or on sait que:

$$T_t = T_y = 2090^\circ\text{K}$$

$$A L_{y-t} = A p_y V_y \cdot \ln \frac{V_t}{V_y} = \frac{Q_f}{\eta_t} Q_r \quad \text{avec } AR = 1,986$$

d'où

$$\delta_t = e^{\frac{Q_f Q_r}{1,986 n_f T_y}}$$

et enfin

$$p_t = \frac{p_y}{\delta_t}$$

donc

$$\underline{\delta_t = 2,48}$$

d'où

$$p_t = 14,82 \text{ kgf/cm}^2$$

### IV Paramètres en fin de détente. "b"

$$p_b = p_t \left( \frac{\delta_t}{\epsilon} \right)^{m_d}$$

avec un coefficient polytropique de  $m_d = 1,3$

$$T_b = T_t \left( \frac{\delta_t}{\epsilon} \right)^{m_d-1}$$

d'où l'on tire

$$p_b = 2,94 \text{ kgf/cm}^2$$

$$T_b = 1439,2^\circ\text{K}$$

et enfin la pression à l'échappement se monte à:

$$p_g = 1,10 \text{ kgf/cm}^2$$

Et maintenant que tous les points du cycle ont été déterminés, essayons d'évaluer les autres paramètres qui déterminent les caractéristiques d'un moteur.

I Calcul de la pression indiquée et de la puissance, par planimétrie du cycle tracé à une échelle déterminée (cf. page ) , on trouve une pression moyenne indiquée telle :-

$$p_{mi} = 6,32 \text{ kgf/cm}^2$$

La puissance indiquée sera :-

$$\Phi_i = \frac{p_{mi} \cdot V_c \cdot i \cdot N}{225 \text{ C}}$$

avec  $\left\{ \begin{array}{l} V_c = \text{Volume de cylindré} = 0,36 \text{ l} \\ i = 4 \text{ cylindres} \\ C = 4 \text{ temps} \\ CP = 5000 \text{ trs/min} \end{array} \right.$

$$\Phi_i = 8,15 \cdot 6,32$$

d'où

$$\Phi_i = 51,5 \text{ CV}$$

Le rendement indiqué sera :-

$$\gamma_i = 1,986 \cdot \frac{\Phi_i}{\Phi_o} \cdot \frac{n_{mf}}{n_y} \cdot \frac{T_0}{Q_i}$$

$$\gamma_i = 0,307$$

Et en prenant un rendement mécanique  $\eta_m = 0,8$   
le rendement effectif sera :-

$$\gamma_e = \gamma_m \cdot \gamma_i$$

$$\gamma_e = 0,245$$

La puissance effective sera :-

$$\Phi_e = \Phi_i \cdot \gamma_m$$

$$\Phi_e = 41,2 \text{ CV}$$

La consommation spécifique indiquée sera :-

$$c_{si} = \frac{632 \cdot 10^3}{\Phi_i \cdot Q_i}$$

$$c_{si} = 189,9 \text{ g/ch.h}$$

La consommation spécifique effective de :-

$$c_{se} = c_{si} \cdot \frac{\gamma_i}{\gamma_e}$$

$$c_{se} = 237,9 \text{ g/ch.h}$$

En première conclusion on peut dire que les résultats sont assez explicatifs et pour my travail orientatif on va essayer d'établir un autre calcul thermique correspondant à une puissance de  $\frac{1}{2}$  charge.  
On va essayer de chercher un nouveau  $\lambda$  répondant à ce critère.

Les conditions stœchiométriques sont :-

$\frac{1}{18.51}$  kmole de G.N + 0.5376. 1,1 kmole d'Air.  
cest-à-dire :-

0,054 kmole de G.N pour 0,59136 kmole d'Air

Le volume occupé par ( $n_0$  = nombre de mole de la charge gracie) est

$$V_0 = \frac{n_0}{\rho} V_g = 0.775 \cdot 367,4 \text{ cm}^3 = 284,7 \text{ cm}^3$$

Dans ce volume une partie  $V_1$  est occupé par  $\frac{1}{18.51}$  kmole de Gaz Naturel

$$V_1 = \frac{V_0 \cdot \frac{1}{18.51}}{1.1 \cdot 0.5376 + 0.054} = 23,8 \text{ cm}^3$$

Pour le Nouveau  $\lambda_2$ , le volume disponible est toujours  $284,7 \text{ cm}^3 = V_0$  et le volume correspondant à la demi-charge est  $V_{1/2}$ .  
d'où les relations suivantes :-

$$\lambda_2 \cdot 0.5376 + 0.054 \longrightarrow V_0$$

$$0.054 \longrightarrow V_{1/2}$$

$$\lambda_2 = \left[ \frac{284,7 \cdot 0.054}{11,91} - 0.054 \right] \cdot \frac{1}{0.5376}$$

d'où

$$\boxed{\lambda_2 = 2,3}$$

# Etude du cycle au Gaz ( $\lambda_2 = 2,3$ )

## I - Calcul du processus d'admission.

On a évidemment les mêmes paramètres du moment qu'il s'agit du même gaz.

$$p_a = 0.03 \text{ kgf/cm}^2$$

$$\eta_v = 0.775$$

$$T_a = 405,6^\circ\text{K}$$

## II Paramètres en fin de compression

De même que pour ces paramètres:-

$$p_c = 15.15 \text{ kgf/cm}^2$$

$$T_c = 860^\circ\text{K}$$

## III Paramètres d'Etat en fin de combustion:-

les équations de combustion ainsi que les hypothèses restent les mêmes

### III - 1 - Quantité d'Air :-

l'air réellement utilisé est:-

$$L = \lambda L_{\text{thé}} = 2,3 \cdot 0,5376$$

$$L = 1,23648 \text{ kmole Air/kg de GN}$$

### III - 2 - Composition des Gaz d'Echappements

$$n_{CO_2} = \frac{[C]}{12}$$

$$n_{CO_2} = 0.058325 \text{ kmole/kg de GN}$$

$$n_{H_2O} = \frac{[H]}{2}$$

$$n_{H_2O} = 0.10935 \text{ ---"---"}$$

$$n_{O_2} = 0.21 L_{\text{thé}} (\lambda - 1) = 0.21 \cdot 0.5376 \cdot 1.3$$

$$n_{O_2} = 0.1467 \text{ ---"---"}$$

$$n_{N_2} = 0.79 \cdot 1 L_{\text{thé}} = 0.79 \cdot 1,23648$$

$$n_{N_2} = 0.9768 \text{ ---"---"}$$

Nombre total de mole en fin de Combustion:-

$$n_f = \sum_{i=1}^4 n_i = n_{CO_2} + n_{H_2O} + n_{O_2} + n_{N_2}$$

$$n_f = 1,291175 \text{ kmole/kg GN}$$

Le coefficient-chimique de Variation molaire est:-

$$\mu_{ch} = \frac{1,291175}{1,2905}$$

$$\mu_{ch} = 1,0005$$

### III-3 Participation molaire de chaque constituant dans les G.d'échappement

$$r_{CO_2} = 0.045172$$

$$r_{H_2O} = 0.08469$$

$$r_{O_2} = 0.113617$$

$$r_{H_2} = 0.75652.$$

### III-4 Bilan Énergétique

Le nombre de mole final  $n_{mf}$  sera :-

$$n_{mf} = 1 L_{th} + 1/8.51$$

$$n_{mf} = 1.2905 \text{ kmole de G.Frais}$$

Le coefficient de variation totale de mole est :-

$$\beta_t = \frac{n_f}{n_i} = \frac{P_{ch} + \delta_r}{1 + \delta_r}$$

$$\beta_t = 1.0005$$

L'Équation de réaction s'écrira :-

$$5385,07 + (u_c - u_o)_i = 1,00 (u_y - u_o)_f \quad (i)$$

### III-4-1 Détermination des coefficients $(a_i, b_i, \dots, e_i)$ .

comme  $r_{air}$  change et devient :  $r_{air} = 0.9581$

$$\text{et } r_{GH} = 0.0418$$

Dans ce cas

$$\begin{cases} a_i = 4,8568 \\ b_i = -0.0215 \cdot 10^{-3} \\ c_i = 2,176 \cdot 10^{-6} \\ d_i = 0.0737 \cdot 10^{-9} \\ e_i = 0 \end{cases}$$

### III-4-2 Détermination des coefficients $(a_f, b_f, \dots, e_f)$

De même ces coefficients seront

$$\begin{cases} a_f = 3,975 \\ b_f = 3,155 \cdot 10^{-3} \\ c_f = -1,148 \cdot 10^{-6} \\ d_f = 0.258 \cdot 10^{-9} \\ e_f = 0.19 \cdot 10^{-12} \end{cases}$$

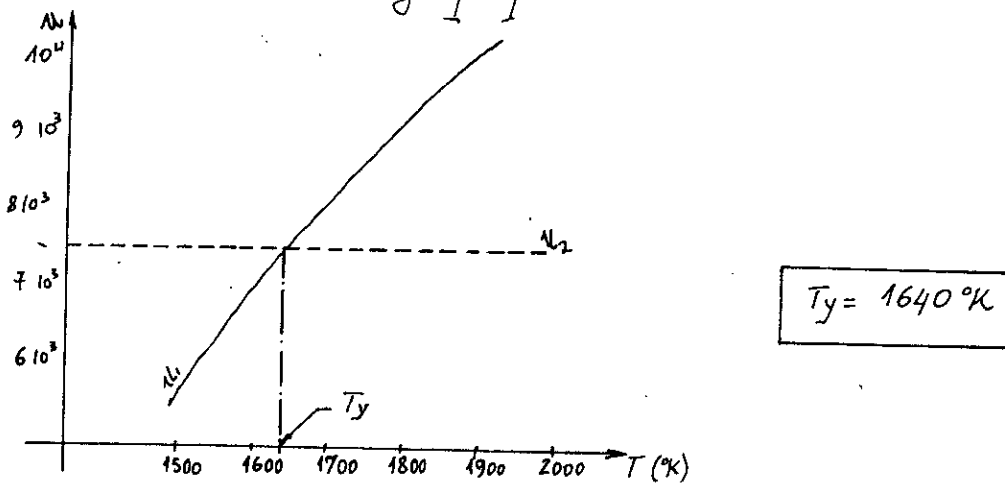
III - 4-3 Détermination de la température de fin de combustion  $T_y$  pour une référence de 500°K et  $T_c = 860°K$

$(H_f - H_o)_i = 2219,68 \text{ kcal/kmole}$  et l'équation (i) deviendra

$$7604,7 = 1,00 (H_f - H_o)_f \quad (ii)$$

$$(H_f - H_o)_f = 3,99 (T_y - 500) + \frac{3,15}{2} 10^3 (T_y^2 - 500^2) - \frac{1,15}{3} 10^6 (T_y^3 - 500^3) + \frac{0,24}{4} 10^9 (T_y^4 - 500^4) + \frac{0,19}{5} 10^{12} (T_y^5 - 500^5).$$

De même la résolution graphique donnera



III - 4-4 Détermination de  $p_y$ .

De la même manière  $p_y = p_c p_e \frac{T_y}{T_c}$

$$p_y = 28,98 \text{ kgf/cm}^2$$

III - 5 Paramètres d'Etat en "t"

Le coefficient  $\delta_t = \frac{V_t}{V_y} = e^{\frac{49 C_p Q_r}{1,98 \cdot m_f \cdot T_y}}$  sera

$$\underline{\delta_t = 1,78}$$

et

$$\underline{T_t = T_y = 1640°K}$$

et

$$\underline{P_t = 16,22 \text{ kgf/cm}^2}$$

IV Paramètres en fin de détente

De la même manière avec  $m_d = 1,3$

$$\underline{P_b = 2,1 \text{ kgf/cm}^2}$$

et

$$\underline{T_b = 1023,3°K}$$

↓ Calcul de la Pression indiquée et de la Puissance  
Sa planimetrie nous donne :-

$$p_{mi} = 3,94 \text{ kgf/cm}^2$$

D'où une puissance indiquée de

$$P_i = 32,10 \text{ CV}$$

Le rendement indiqué sera :-

$$\eta_i = 0.386$$

et le rendement effectif de :-

$$\eta_e = 0.309$$

Sa consommation spécifique indiquée de :-

$$C_{si} = 151,08 \text{ g/ch.h}$$

et la consommation effective de :-

$$C_{se} = 180,7 \text{ g/ch.h}$$

# Etude du cycle à essence ( $\lambda = 0,9$ )

Afin de compléter notre comparaison, on se propose dans une troisième phase de faire une étude thermique du cycle à essence, avec un excès d'air de  $\lambda = 0,9$ . La méthode de calcul est évidemment la même, et on se bornera uniquement aux résultats.

## I Etude du Processus d'Admission.

les paramètres d'admission ne changent guère relativement au cycle à gaz, car il s'agit du même moteur, et donc des mêmes dimensions.

$$p_a = 0,83 \text{ kgf/cm}^2$$

$$\eta_v = 0,775$$

$$T_a = 405,6 \text{ } ^\circ\text{K}$$

## II Paramètres en fin de compression.

du fait de la non homogénéité du mélange (Air + Essence), le coefficient ( $\gamma_{ac}$ ) polytropique n'est plus le même ; Il en résulte donc une différence au niveau des paramètres  $p_c$  et  $T_c$ .

on prend  $m_c = 1,38$  et on aura :-

$$p_c = 0,83 \cdot (8,6)^{1,38}$$

$$T_c = 405,6 \cdot (8,6)^{0,38}$$

$$p_c = 16,16 \text{ kgf/cm}^2$$

$$T_c = 918,5 \text{ } ^\circ\text{K}$$

## III Paramètres après combustion.

Les données pratiques pour l'essence ( $C_7H_{16}$ ).

III - 1 - 1 Concentration molaire des différents éléments constitutifs l'essence celles-ci sont les suivantes :

$$[C] = 0,854 \text{ kg de Carbone / kg d'Essence}$$

$$[H] = 0,142 \text{ kg d'hydrogène / kg d'Essence}$$

$$[O] = 0,004 \text{ kg d'oxygène / kg d'Essence.}$$

III - 1 - 2 Quantité d'Air utilisée pour la combustion.

La quantité d'Air théorique à la combustion est:-

$$L_{\text{thé}} = 0,5073 \text{ kmole d'Air/kg d'Ess}$$

La quantité d'Air réellement utilisée est:-

$$L = \lambda L_{\text{thé}} \quad \lambda = 0.9$$

$$\Rightarrow L = 0.4565 \text{ kmole/kg d'Ess}$$

III - 2 Composition des Gaz d'Echappement.

Du point de vue chimique la formation du monoxyde de carbone est inévitable, car la combustion est incomplète du fait qu'elle se fait avec un défaut d'oxygène.  
Et la composition des gaz de combustion va être, la suivante:-

$$n_{CO_2} = \frac{[C]}{12} - 0,42(1-\lambda) L_{\text{thé}} = \frac{0,854}{12} - 0,42 \cdot 0,1 \cdot 0,5073$$

$$n_{CO_2} = 0,0498 \text{ kmole/kg Ess}$$

$$n_{H_2O} = \frac{[H]}{2} = \frac{0,1H^2}{2}$$

$$n_{H_2O} = 0,071 \text{ -- -- -- }$$

$$n_{CO} = 0,42(1-\lambda) L_{\text{thé}} = 0,42 \cdot 0,1 \cdot 0,5073$$

$$n_{CO} = 0,02130 \text{ -- -- -- }$$

$$n_{H_2} = 0,79 \text{ et } L_{\text{thé}} = 0,79 \cdot 0,9 \cdot 0,5073$$

$$n_{H_2} = 0,36039 \text{ -- -- -- }$$

Le nombre total de mole en fin de combustion sera

$$n_f = n_{CO_2} + n_{H_2O} + n_{CO} + n_{N_2}$$

$$n_f = 0,502 \text{ kmole/kg dess}$$

et le coefficient chimique de variation molaire est:-

$$\mu_{ch} = \frac{n_f}{n_0}$$

$$\mu_{ch} = 1,076$$

III - 3 Participation molaire de chaque constituant dans les G.d'E.

$$r_{CO_2} = 0,0992 \quad r_{CO} = 0,0424 \quad r_{H_2O} = 0,1454$$

$$r_{H_2} = 0,718$$

## III-4 Bilan Énergétique :-

### III-4-1 Chaleur de réaction.

$Q_r = Q_i - 13800 \text{ (1-1)}$ . La quantité  $13800(1-1)$  tient compte de la formation de CO, car ce dernier oblige l'évacuation d'une certaine quantité d'énergie.

$$\text{avec } \lambda = 0.9; Q_i = 10400 \text{ kcal/kg}$$

$$Q_r = 9020 \text{ kcal/kg}$$

### III-4-2 Équation de réaction.

Le nombre total de mole final  $n_{mf}$  sera :-

$$n_{mf} = \lambda L_{\text{thé}} + \frac{1}{114}$$

$$n_{mf} = 0,4653 \text{ kmol/kg}$$

Le coefficient de variation totale de mole est :-

$$\beta_t = \frac{\mu_{ch} + \delta_r}{1 + \delta_r}$$

$$\beta_t = 1,072$$

D'où l'équation globale :-

$$\frac{0.9 \cdot 9020 (1-0.25)}{0.4653 \cdot (1+0.0526)} + (n_c - n_o)_i = \beta_t (n_y - n_o)_f$$

D'où :-

$$12831,22 + (n_c - n_o)_i = 1,072 (n_y - n_o)_f. \quad (i)$$

### III-4-3 Détermination des coefficients ( $a_i, b_i, \dots, e_i$ ).

$$\text{on a : } r_{air} = \frac{\lambda L_{th}}{\lambda L_{\text{thé}} + \frac{1}{114}} ; \quad r_{air} = 0.98123$$

$$r_{ess} = \frac{\frac{1}{114}}{\lambda L_{\text{thé}} + \frac{1}{114}} ; \quad r_{ess} = 0.01885$$

les coefficients pour l'essence sont :-  
 $a_{ess} = 5,485$ ;  $b_{ess} = 148 \cdot 10^3$ ;  $C_{ess} = -51,5 \cdot 10^{-6}$ ;  $d_{ess} = e_{ess} = 0$

Dans ce cas :-

$$\left\{ \begin{array}{l} a_i = 4,926 \\ b_i = 2,423 \cdot 10^{-3} \\ C_i = 1,258 \cdot 10^{-6} \\ d_i = 0,894 \cdot 10^{-9} \\ e_i = 0 \end{array} \right.$$

### III - 4-4. Détermination des coefficients ( $a_f, \dots, e_f$ ).

Ces coefficients sont :-

$$\left\{ \begin{array}{l} a_f = 3,997 \\ b_f = 3,994 \cdot 10^{-3} \\ c_f = -1,2950 \cdot 10^{-6} \\ d_f = -0,0820 \cdot 10^{-9} \\ e_f = 0,3263 \cdot 10^{-12} \end{array} \right.$$

### III - 4-5 Détermination de la température en fin de combustion $T_y$ .

Comme la température de compression  $T_c = 918.5^\circ K$ , et en prenant une référence à  $T_0 = 500^\circ K$ , on a obtenu, -

$(u_c - u_0)_f = 3198.33 \text{ kcal/mole}$ .  
De ce fait l'équation (ii) deviendra :-

$$16629.5 = 1.07 (u_y - u_0)_f \quad (ii)$$

La résolution de :-

$$(u_y - u_0)_f = 3,997(T - 500) + \frac{3,994 \cdot 10^{-3}}{2}(T^2 - 500^2) + \frac{1,295 \cdot 10^{-6}}{3}(T^3 - 500^3) - \frac{0,082 \cdot 10^{-9}}{4}(T^4 - 500^4) + \frac{0,3263 \cdot 10^{-12}}{5}(T^5 - 500^5)$$

et de (ii) nous donne par la méthode graphique :-

$$T_y = 2290^\circ K.$$

### III - 4-6 Détermination de $p_y$

$$p_y = \nu_t p_c \cdot \frac{T_y}{T_c}$$

$$p_y = 43.18 \text{ kgf/cm}^2$$

### III - 5 Paramètres en "t"

$$\delta_t = e^{\frac{a_f + a_g + a_r}{1.98 \cdot n_g \cdot T_y}} = \frac{V_t}{V_y}$$

$$\text{et comme } p_t = \frac{p_y}{\delta_t}$$

et puisque on est sur l'isotherme :-

$$\delta_t = 2.56$$

$$p_t = 16.86 \text{ kgf/cm}^2$$

$$T_t = T_y = 2290^\circ K.$$

### III Paramètres en fin de détente.

avec un coefficient polytropique de  $n_g = 1.3$  on obtient :-

$$p_b = 3.51 \text{ kgf/cm}^2$$

$$T_b = 1591.9^\circ K.$$

Y Pression indiquée, puissance, consommation et rendements.

par planimétrie on obtient :-  
une pression moyenne indiquée  $p_{mi}$  de

$$p_{mi} = 7,82 \text{ kgf/cm}^2$$

Dans ce cas la puissance indiquée est

$$\dot{P}_i = \frac{0,367 \cdot 4 \cdot 5000 \cdot p_{mi}}{4 \cdot 225}$$

$$\dot{P}_i = 63,73 \text{ CV.}$$

Le rendement indiqué sera :-

$$\gamma_i = 1,986 \cdot \frac{7,82 \cdot 0,4653 \cdot 298}{1,013 \cdot 0,775 \cdot 10400}$$

$$\gamma_i = 0.286$$

En adoptons toujours un rendement mécanique de  $\gamma_m = 0.8$ , on obtient une puissance à l'arbre (effectif) de :-

$$\dot{P}_e = \gamma_m \dot{P}_i$$

$$\dot{P}_e = 50.9 \text{ CV.}$$

De même que le rendement effectif sera :-

$$\gamma_e = \gamma_i \cdot \gamma_m$$

$$\gamma_e = 0.228$$

Les consommations spécifiques indiquées et effectives seront :-

$$c_{si} = 212,4 \text{ g/cv.h}$$

et

$$c_{se} = 266,4 \text{ g/cv.h}$$

## II. Conclusions Générales

D'après les résultats obtenus, on pourra dire que pour une même quantité (volumétr.) de mélange, "Air-G.N" ou "Air-Essence", la perte de puissance enregistrée par la marche au Gaz est largement compensée par un gain de rendement thermique.

La qualité du mélange "Air-Gaz Naturel" peut aussi influer sur la pression moyenne indiquée, ainsi que sur le rendement. En effet avec un excès d'air important, la puissance se voit chuter tandis que le rendement s'améliore.

Le tableau récapitulatif suivant permet de faire une meilleure comparaison.

	marche Essence ( $\lambda=0.9$ )	marche G.N ( $\lambda=1.1$ )	marche G.N ( $\lambda=2.3$ )
Pression moyenne indiquée $p_m$	7,82 kgf/cm <sup>2</sup>	6,32 kgf/cm <sup>2</sup>	3,94 kgf/cm <sup>2</sup>
Puissance effective $P_e$	50,9 CV	41,2 CV	25,6 CV.
Rendement effectif $\eta_e$	0,228	0,245	0,309
Consomm. specif. eff. $G_{se}$	266,4 g/cv.h	237,9 g/cv.h	188,7 g/cv.h
Températ. fin de combustion $T_y$	2290 °K	2090 °K	1640 °K

La perte de puissance relative à la marche au gaz ( $\lambda=1.1$ ) est de l'ordre de 19%.

# Etude de la Carburation

## I Principes et Généralités

Le principe de fonctionnement d'un moteur à gaz est identique à celui d'un moteur à essence, toute fois la différence apparaît au niveau de l'alimentation.

Dans les moteurs à gaz, le combustible est introduit à l'état gazeux, dans un "mélangeur" au lieu de l'état liquide pour l'essence. Ceci nous permet de penser que le mélange "air-gaz" est plus homogène que le mélange "air-essence".

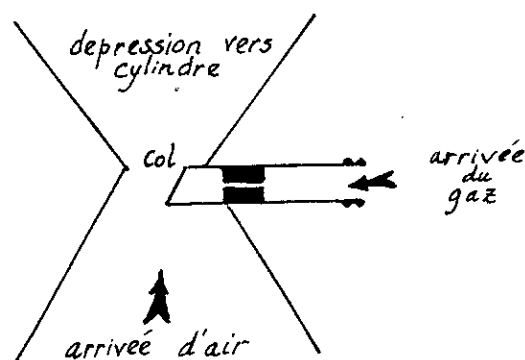
La richesse du mélange carburé d'un moteur est un des paramètres essentiels; la pression moyenne effective ( $p_{me}$ ) est maximale aux environs d'une richesse de  $\Phi = 1,1$ , mais le rendement effectif est max pour  $\Phi \approx 0,9$  d'où l'intérêt de faire un réglage en régime légèrement pauvre.

Le pouvoir calorifique par volume du mélange air-gaz baisse relativement au mélange air-essence. Cette diminution d'énergie thermique disponible par unité de volume du mélange est due au fait que les gouttelettes d'essence ont un volume négligeable par rapport au gaz.

En pratique, pour avoir une combustion avec un minimum de polluants à l'échappement, on fera le réglage de carburation avec excès d'air.

## II Le Mélangeur.

### a) Schéma de principe



Le mélange carburé air-gaz est dosé au moyen d'un mélangeur du type Venturi - (cf schéma).

La vitesse de l'air aspiré par le moteur est maximale au col de la buse du mélangeur.

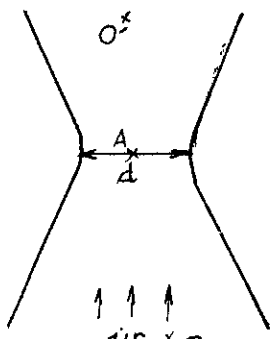
## b) Fonctionnement.

- Ce mélangeur s'adapte aux carburateur essence.
- La variation du débit de gaz se fait mécaniquement au moyen d'un papillon solidaire de celui du carburateur. Le mélangeur comprend une prise de gaz, et une prise d'air pour le ralenti. Ces deux prises sont réglées par deux "vis pointeaux".
- Le passage d'un combustible à l'autre s'effectue simplement par manœuvre manuelle.

## c) Dimensionnement de la buse d'aménéé d'air.

Hypothèses :-

- l'écoulement est continu.
- la vitesse d'écoulement est uniformément répartie dans la section.
- l'air est un fluide incompressible (par hypothèse).
- La dépression maximale admise est environ  $\Delta p_{\text{max}} = 1200 \text{ mm H}_2\text{O}$



soient les points A et O

$$A \left\{ \begin{array}{l} P_A \\ w_A \\ g_A = g_0 \end{array} \right. \quad O \left\{ \begin{array}{l} P_O \\ w_O = 0 \\ g_O = g_0 \end{array} \right.$$

d'après Bernoulli :-

$$\frac{P_0}{\gamma_0} + \frac{w^2}{2} = \frac{P_A}{\gamma_0} + \frac{w_A^2}{2} + J_A$$

et en prenant  $J_A = 0$  (pertes de charge négligeable);  $\varphi_w$  = coeff. de vitesse.  
 $\Delta p_d = P_A - P_O$

$$\text{donc } w_A = \left[ \frac{2}{\gamma_0} \Delta p_d \right]^{1/2} \cdot \varphi_w$$

Le débit d'air est :-

$$q_{\text{air}} = E_A S_A w_A \cdot \gamma_0 \cdot 3600 \quad (\text{kg/h})$$

donc :-

$$q_{\text{air}} = E_A \varphi_w \cdot S_A \cdot (2 \gamma_0 \Delta p_d)^{1/2} \cdot 3600$$

$$\left\{ \begin{array}{l} S_A = \pi d^2 / 4 \\ E_A = \text{coeff. de contraction de la veine.} \end{array} \right.$$

et en prenant  $P_d = E_A \varphi_w = \text{coefficient de débit}$

$\varphi_c$  = coefficient de compressibilité de l'air

donc

$$q_{\text{air}} = \varphi_c \cdot P_d \cdot S_A \cdot (2 \gamma_0 \Delta p_d)^{1/2} \cdot 3600 \quad (\text{kg/h}) \quad (I)$$

Comme la consommation d'air est :-

$$(II) \quad q_{\text{air}} = V_c \cdot i \cdot Z_v \cdot \gamma_0 \cdot n \cdot \frac{60}{C/4} \quad \text{avec}$$

$V_c$  = Volume de cylindré  
 $i$  = nombre de cylindre = 4  
 $Z_v$  = rendement volumétrique  
 $\gamma_0$  = 1,29 kgf/m³  
 $n$  = 5000 tr/min  
 $C$  = 4 courses/cycle.

en écrivant (I)  $\Leftrightarrow$  (II) , on tire  $d$  = diamètre au col de la buse.

$$d = \left( \frac{V_c \cdot Z_v \cdot \gamma_0 \cdot n \cdot 30 \cdot 4 \cdot 4}{3600 \cdot \pi \cdot \rho_d \cdot (2\gamma_0 \cdot 4\rho_d)^{1/2}} \right)^{1/2}$$

en consultant le graphe  $\rho_d = f(\Delta p_d)$  on tire  $\rho_d = 0.8$  pour  $\Delta p_d = 1200 \text{ mm H}_2\text{O}$   
 on trouve un diamètre de :-

$$d = 22,8 \text{ mm.}$$

#### d) Dimensionnement du gicleur Gaz.

identiquement au calcul pour la buse d'air, la vitesse d'écoulement du gaz est :-

$$\frac{v_d}{w_g} = \left( \frac{\rho_d}{\rho_g} \cdot \frac{\Delta p_d'}{\Delta p_g} \right)^{1/2}$$

en substituant en 1ère approximation  $\rho_c \approx \rho_g \approx 1$  et  $p_g' = p_0$ ,  
 on obtient un rapport de vitesse.

$$\frac{v_d}{w_g} = \left( \frac{\rho_d}{\rho_0} \right)^{1/2} = \left( \frac{0.82}{1.29} \right)^{0.5} \approx 0.79.$$

donc pour

$$\frac{v_d}{w_g} = 80 \text{ à } 100 \text{ m/s} \Rightarrow w_g = 60 \text{ à } 75 \text{ m/s.}$$

et en tenant compte de la compressibilité du gaz , on tire le débit de gaz .

$$q_g = \rho_g \cdot S_g \cdot \left( 2 \cdot \gamma_g \cdot \Delta p_d' \right)^{0.5} \cdot 3600 \text{ (kg/h)} \quad (I)$$

Or, l'Exédent d'air est exprimé de la façon suivante :-

$$\lambda = \frac{q_{\text{air}}}{q_g \cdot L \text{ min}}$$

avec  $\lambda = \text{excès d'air}$   
 $L_{\min} = \text{pouvoir comburivor (kg d'air/kg de combustible)}$ .

et comme  $q_{\text{air}} = V_c \cdot i \cdot \eta_v \cdot \gamma_0 \cdot n \cdot \frac{60}{C/2}$   
 $q_{\text{air}} = 213.2 \text{ kg/h.}$

or  $L_{\min} = 0.5376 \text{ (kmole d'air/kg de G.N.)}$   
 $= 0.5376 \cdot 29.966 = 16,109 \text{ (kg d'air/kg de G.N.)}$

donc

$$q_g = \frac{q_{\text{air}}}{\lambda \cdot L_{\min}} = \frac{213.2}{1.1 \cdot 16,109}$$

$$q_g = 12.03 \text{ kg/h.}$$

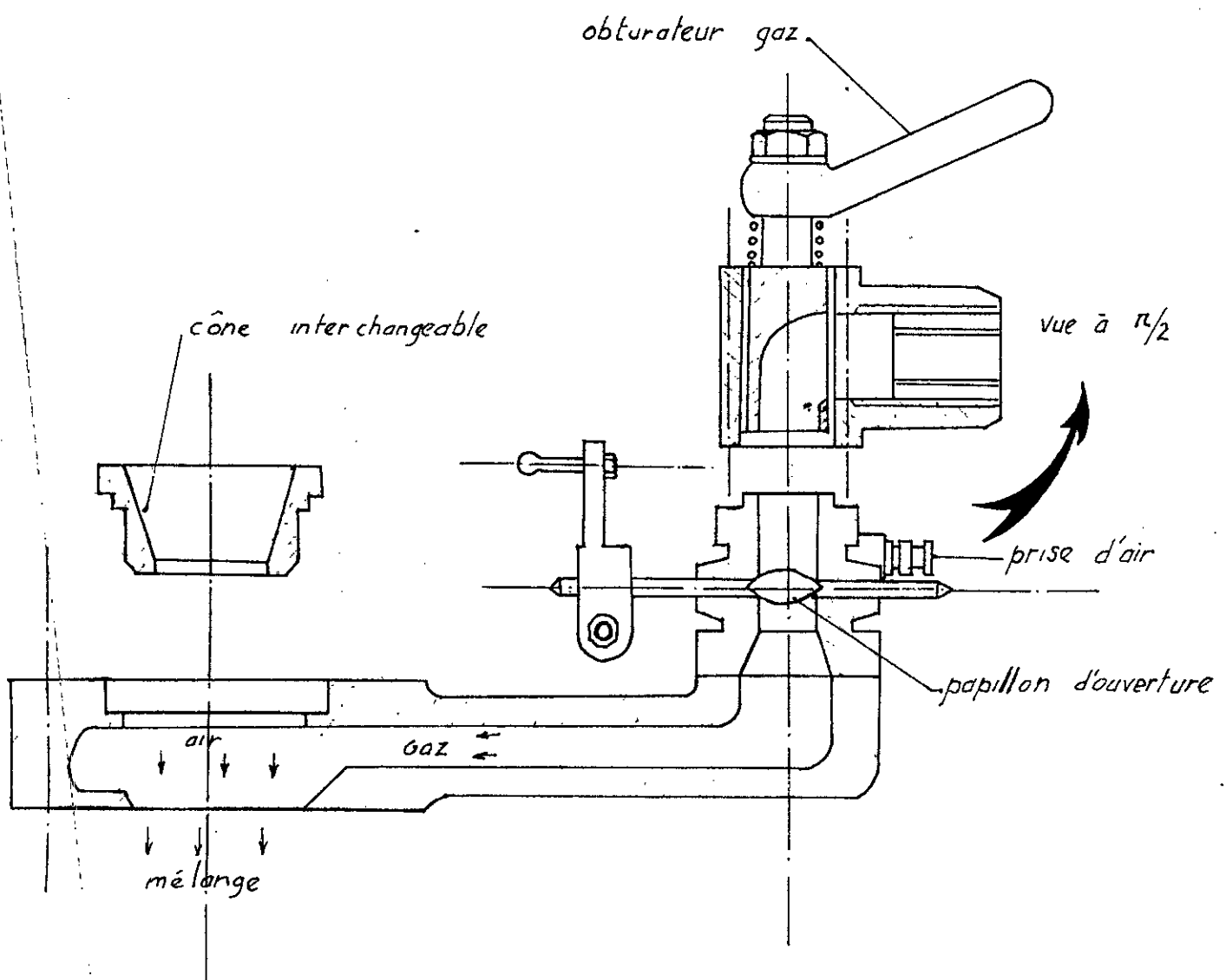
or d'après (1)

$$d_j = \left( \frac{4 \cdot q_g}{\pi \cdot l_g \cdot \eta_g (2 \gamma_g \cdot 4 \rho_d)^{1/2} \cdot 3600} \right)^{0.5}$$

$$\Rightarrow d_j = 6,18 \text{ mm.}$$

e) Dessin d'ensemble.

(cf page 35 )



Fig

Le Mélangeur

# Essais et Mesures

Avant d'aborder ce chapitre, je voudrais attirer l'attention des responsables sur l'état actuel du matériel existant au Labo-moteur.

En effet, on a constaté tout d'abord la défectuosité du moteur existant. Il nécessitait beaucoup de réparations, les plus urgentes (nécessaires à l'élaboration des Essais) étaient le rodage de soupapes, ainsi que le remplacement du tendeur de chaîne existant. On a effectué ces opérations le 10 et le 11 Novembre 1979.

Les instruments de mesures (balance, tachymètre, ...) sont quasiment hors d'usage, ils faisaient presque toutes mesures.

Toutes fois on a essayé de faire des manipulations avec autant de rigueur que possible.

Le moteur dont nous devions effectuer la transformation est un moteur R16 du type 697 essence R1150, dont les caractéristiques fournies par le constructeur sont les suivantes.

Alesage	76 mm
Course	81 mm
Cylindrée	1470 cm <sup>3</sup>
Taux de compression	8,6 / 1
Puissance fiscale	8 CV
Puissance Effective à 5000 tr/mn	
CV - DIN	58,5
CV - SAE	62,6
Couple Maximum à 2800 tr/mn	
m.kg - DIN	10,8
m.kg - SAE	10,75

## I Méthode de calcul pour tout paramètres.

Les paramètres que l'on desire connaître sont,  $C_e$  = le couple effectif,  $P_e$  = puissance effective, la consommation horaire,  $C_h$  ainsi que la consommation spécifique  $C_s$ .  
Ceux ci ne peuvent étre liés directement aux les appareils de mesure, ils nécessitent donc un calcul préalable.

- Couple effectif : -  $C_e$   
 $F$  = force tiré sur la balance

$$C_e = F \cdot 0.7162 \text{ kgf.m.}$$

- Puissance effective :  $P_e$   
 $F$  = force tiré sur la balance  
 $n$  = vbre de tours/min tiré sur tachymètre

$$P_e = F \cdot n \cdot 10^3 \text{ CV}$$

- Consommation horaire -  $C_h$  pour l'essence.  
 $t$  = temps d'écoulement de la quantité  $v$ .  
 $v$  = 100 ml.

$$C_h = 3,6 \frac{v}{t} \text{ l/h}$$

- Consommation horaire -  $C_h$  pour le Gaz Naturel  
on rapporte les valeurs tirées sur le débitmètre à gaz, sur une grappe préalablement étalonnée, et donnant les consommations horaires en fonction de ces valeurs en g/s

- Consommations spécifiques :  $C_s$ .

avec  $[C_s] = \text{g/s}$ .

$$C_s = 3660 \cdot \frac{C_h}{P_e} \text{ g/CV.h}$$

- Rendement global du moteur  $\gamma_g$

$P_{ci}$  = pouvoir calorifique inférieur  
= 10200 (pour l'essence) kcal/kg  
= 10837 (pour le G.N) -- "

$$\gamma_g = \frac{635 \cdot 10^3}{C_s \cdot P_{ci}}$$

## II Programme d'Etude sur le banc.

En premier lieu on va essayer d'établir les caractéristiques du moteur fonctionnant à l'essence, et cela pour différentes ouvertures du papillon du carburateur

. On aura ainsi :  $P_e = f(n)$ ,  $C_e = f(n)$ ,  $C_s = f(n)$  et  $\gamma_g = f(n)$ .

. On notera par "X" la pleine ouverture du papillon ; et par  $3/4X$ , une ouverture au  $3/4$ , ... aussi de suite.

. Les courbes se trouvent en pages (39, 40, 41, 42)

charge maximale X

$N^P(t/m)$	$F(kgf)$	$P_e (cv)$	$G_e(mg)$	$t (s)$	$C_h (\ell/h)$	$C_s (g/cm^3)$	$\eta$
1000	13,6	13,6	9,74	68	5,29	290	0,214
1500	14	21	10,02	48,8	7,39	261,7	0,237
2000	14,4	28,8	10,31	38,3	9,39	243,1	0,256
2500	14,2	35,5	10,17	29,9	12,04	232,6	0,280
3000	13,5	40,5	9,7	25,5	14,11	259,6	0,239
3500	12,8	44,8	9,2	23	15,6	260,2	0,239
4000	12	48	8,6	20,8	17,3	268,6	0,231
4500	11	49,5	7,87	18	20	301,01	0,206
5000	10,3	51,5	7,37	15,5	23,22	335,98	0,185
5500	8,6	48,9	6,3	13,4	26,8	409,3	0,152
6000	8	48	5,7	12	30	465,6	0,133

Essai du 12/11/79

Carburant : Essence Super  
 $\{ \rho_{ci} = 10400 \text{ kcal/kg}$   
 $\rho = 0,74 \text{ g/cm}^3$

Gicleurs  
 $\{ E_{ss} = 145$   
 $Air : 40$

pression d'huile maxi  
 $p_h = 3,6 \text{ kgf/cm}^2$

Temperaturre Maximale  
 des G. d'Echap<sup>t</sup>

$T_g = 750^\circ\text{C}$

Temperaturre Max d'Entree  
 d'eau  $T_e = 72^\circ\text{C}$

Temperaturre Max de  
 Sortie d'eau ..

$T_s = 82^\circ\text{C}$

Temperaturre Max  
 de Sortie d'huile :  
 $T_h = 92^\circ\text{C}$

charge 0.75 X

$N^P(t/m)$	$F(kgf)$	$P_e (cv)$	$G_e(mg)$	$t (s)$	$C_h (\ell/h)$	$C_s (g/cm^3)$	$\eta$
1200	10,4	12,48	7,04	69	5,39	320,75	0,194
1800	10,8	19,6	7,8	56	6,42	244,3	0,258
2000	11	22	7,87	46	7,8	265,01	0,234
2500	10,6	26,5	7,59	34	10,5	297,66	0,209
3000	10,0	30,1	7,2	24,8	14,51	358,58	0,173
3500	9,35	32,7	6,7	20	18	409,5	0,152
4000	8,7	34,8	6,32	18	20	428,1	0,145
4500	8	36	5,92	15,8	22,7	471,5	0,132
5000	7,1	35,5	5,08	13	27,6	581,1	0,107

charge 0.5 X

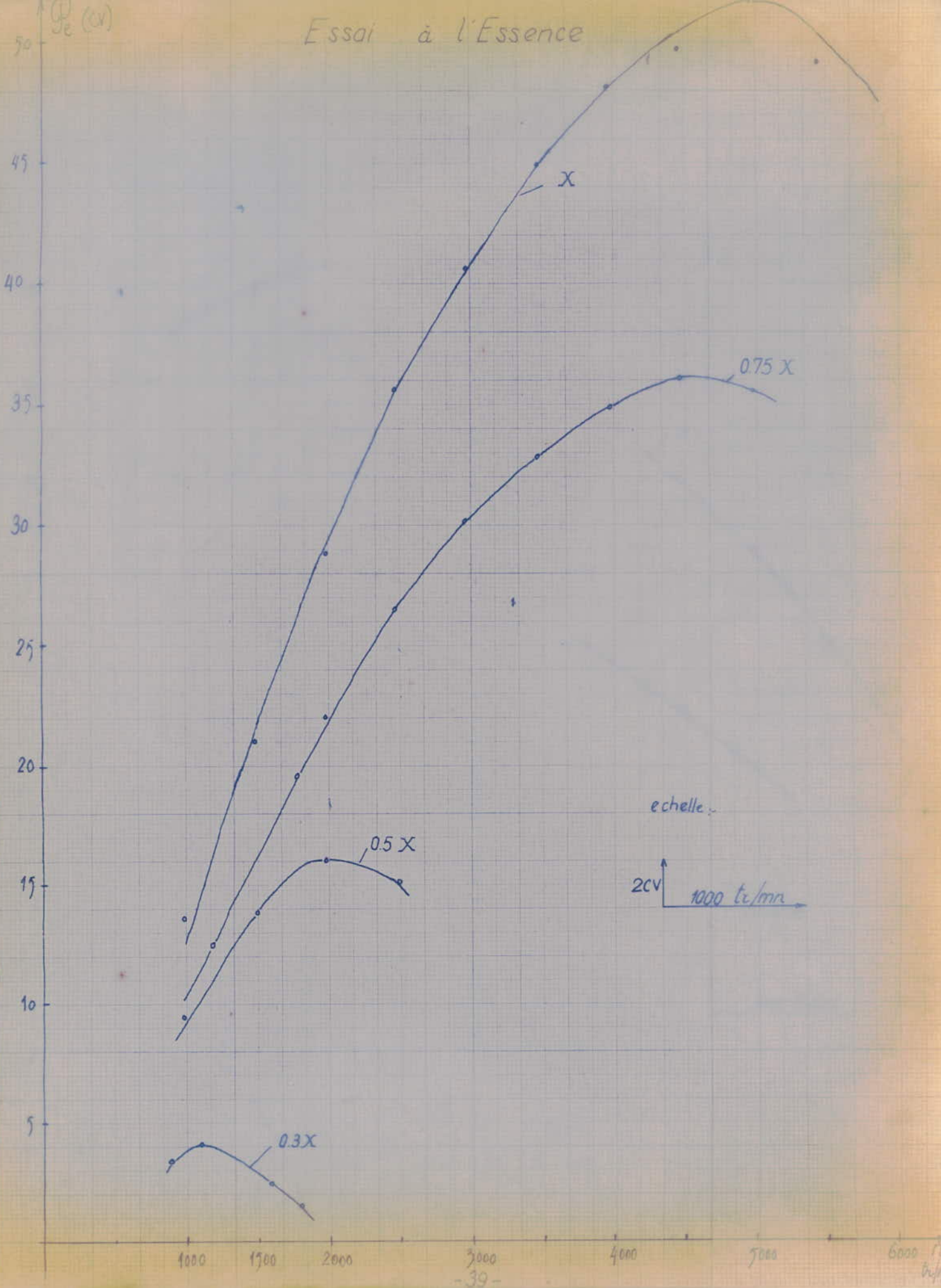
$N^P(t/m)$	$F(kgf)$	$P_e (cv)$	$G_e(kg.m)$	$t (s)$	$C_h (\ell/h)$	$C_s (g/dm^3.h)$	$\eta$
1000	9,4	9,4	6,73	69	5,2	413,5	0,150
1500	9,2	13,8	6,59	56	6,42	347,04	0,179
2000	8	16	5,73	49	7,34	342,09	0,181
2500	6	15	4,29	42,8	8,41	417,75	0,149

charge (mini) 0.3 X

$N^P(t/m)$	$F(kgf)$	$P_e (cv)$	$G_e(kg.m)$	$t (s)$	$C_h (\ell/h)$	$C_s (g/dm^3.h)$	$\eta$
900	3,8	3,42	2,72	126,6	2,84	619,4	0,1005
1200	3,35	4,02	2,39	122,7	2,93	543,7	0,114
1600	1,5	2,4	1,07	112,2	3,20	9,95,9	0,062
1800	0,8	1,44	0,57	105,2	3,42	1770,4	0,035

Ces quatre tableaux ont été pris le 12/11/79.  
 la température d'Essai était de  $T_e = 16^\circ\text{C}$   
 Et la pression barométrique de  $P_e = 753 \text{ mm Hg}$ .

# Essai à l'Essence

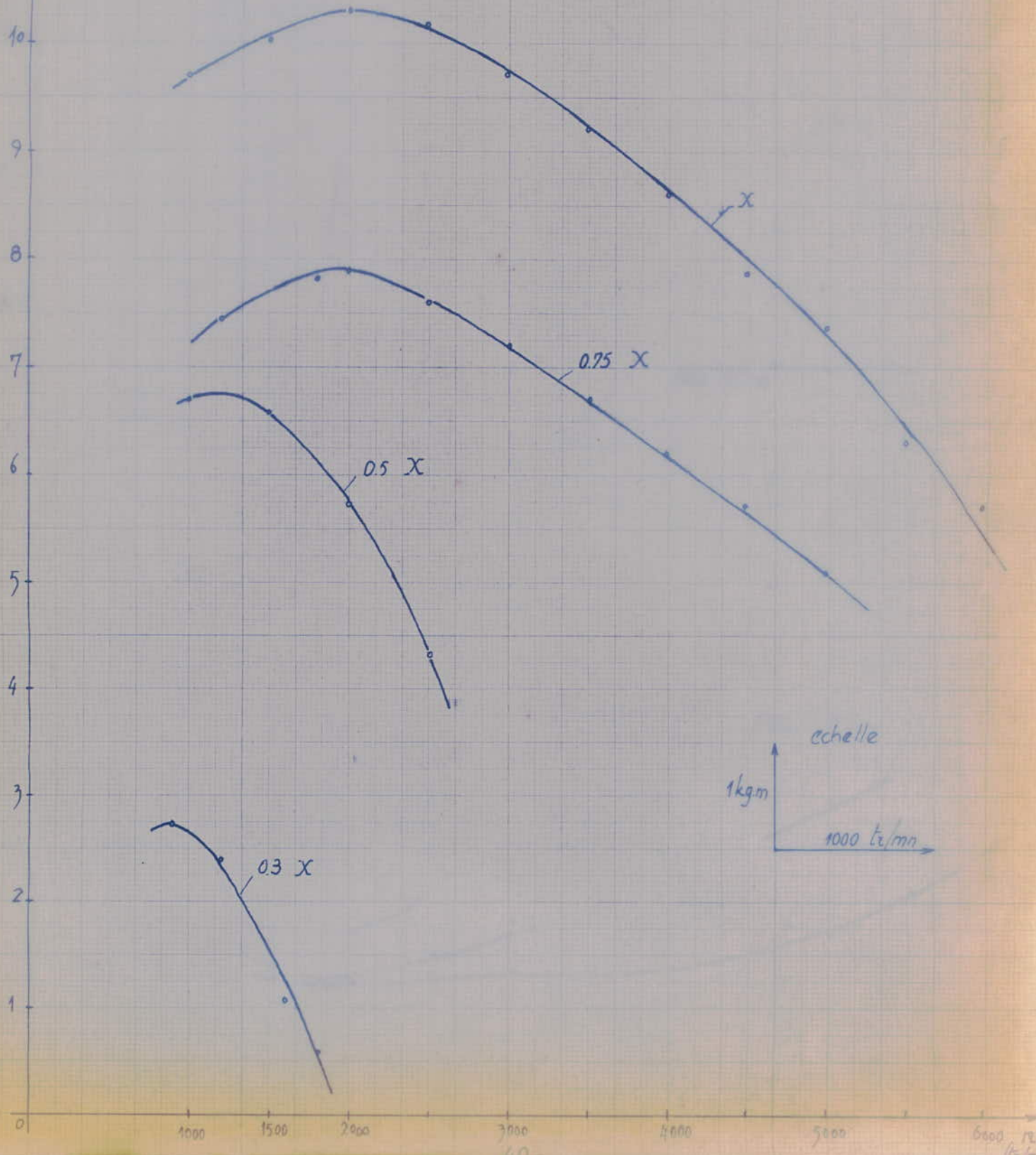


echelle:

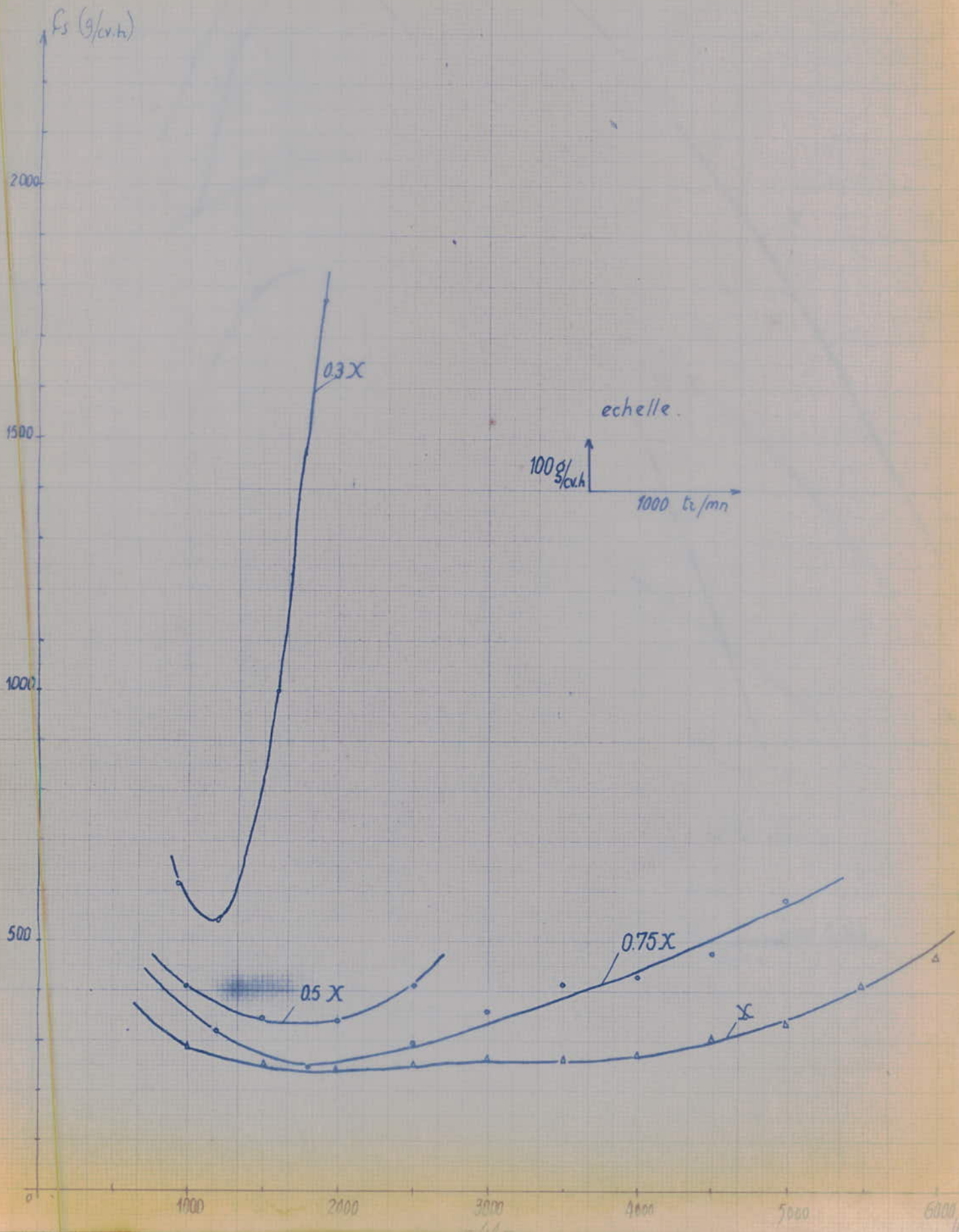
2CV  
1000 tr/mn

# Essai à l'Essence

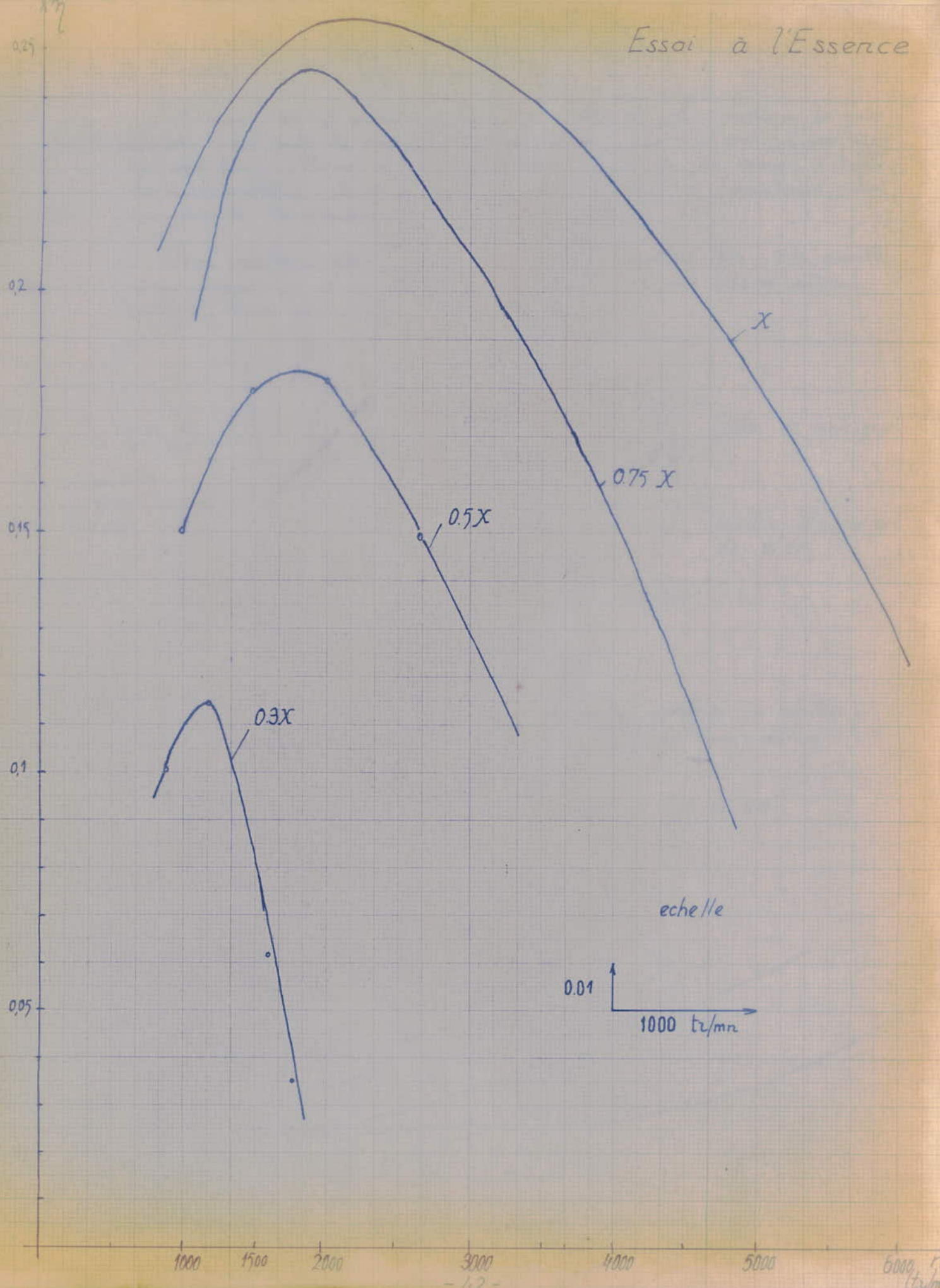
$\Delta G_e (\text{kg-m})$



# Essai à l'Essence



Essai à l'Essence

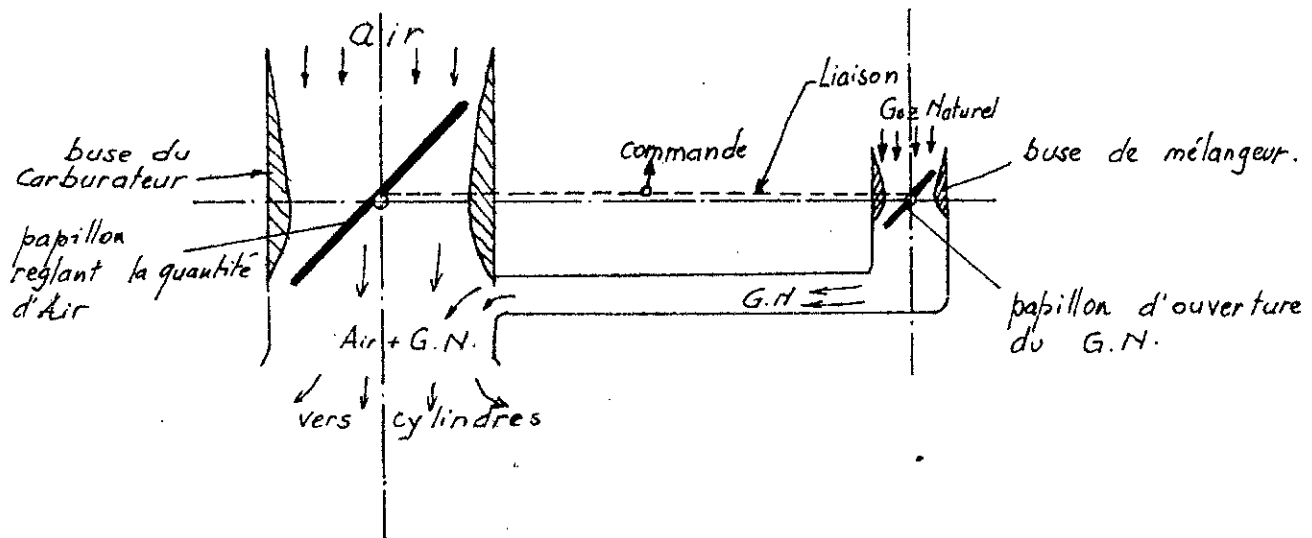


echelle  
0.01  
1000 tr/mn

## II Essais au Gaz Naturel

Comme on l'avait signalé au départ, la pression moyenne effective (par suite de la puissance) est maximum aux environs d'une richesse de  $\phi=1,1$ . Donc dans un premier temps on va essayer d'établir la caractéristique de ce moteur pour cette richesse (maintenue autant que possible constante).

Pour réaliser ceci on avait relié les papillons (Air ; - G.N) ensemble après avoir effectué le réglage de cette richesse. Le schéma suivant explique mieux cette situation.



On avait effectué des mesures pour différentes ouvertures du papillon gaz que nous avions noté par Y pour la pleine ouverture,  $3/4 Y$  pour une ouverture à 0,75 du maximum, ... et ainsi de suite.

Les courbes ainsi définies se trouvent en pages : 45 ; 46 ; 47 ; 48.

charge maximale Y

CV (k/m)	F (kgf)	P <sub>e</sub> (C.V)	G <sub>e</sub> (kg/m)	S <sub>a</sub> g/s	S <sub>s</sub> (g/cv.h)	Z <sub>e</sub>
1000	5	5	3.58	0.6	271	0.21
1300	9.4	12.2	6.73	0.62	182.9	0.32
1450	9.95	14.4	7.1	0.65	162.5	0.36
1650	10.9	18	7.8	0.69	138	0.42
1800	11.1	20	7.94	0.71	127.8	0.45
2000	11.6	23.2	8.30	0.72	111.7	0.48
2500	11.52	28.8	8.25	1.01	122	0.48
3000	11.2	33.6	8.02	1.38	147.8	0.39
3250	10.8	35.1	7.73	1.52	155.8	0.37
3900	8.7	34.2	6.2	2.1	219.5	0.26
4100	8.1	33.2	5.8	2.5	239.8	0.24
4500	7	34.7	5.01	3.2	291.2	0.20
5000	5.8	29.4	4.15	-	-	-

Essais du 14/11/79  
carburant : G.H

Temperature d'Essai  
T<sub>e</sub> = 17°C

Pression Barométrique

$$P_e = 756 \text{ mmHg}$$

$$\begin{cases} p.c.i = 10837 \text{ kcal/kg} \\ p = 0.83 \text{ g/cm}^3 \end{cases}$$

Gicleur

$$\begin{cases} G.H : 57 \\ \text{Air} : 40 \end{cases}$$

pression max d'huile  
 $P_h = 3.6 \text{ kgf/cm}^2$

Temp. Max de Sortie  
d'huile  $T_h = 70^\circ\text{C}$

Temp. Max d'Eau  
entrée  $T_e = 60^\circ\text{C}$   
sortie  $T_s = 70^\circ\text{C}$

Temper. Max des G.E.

$$T_g = 750^\circ\text{C}$$

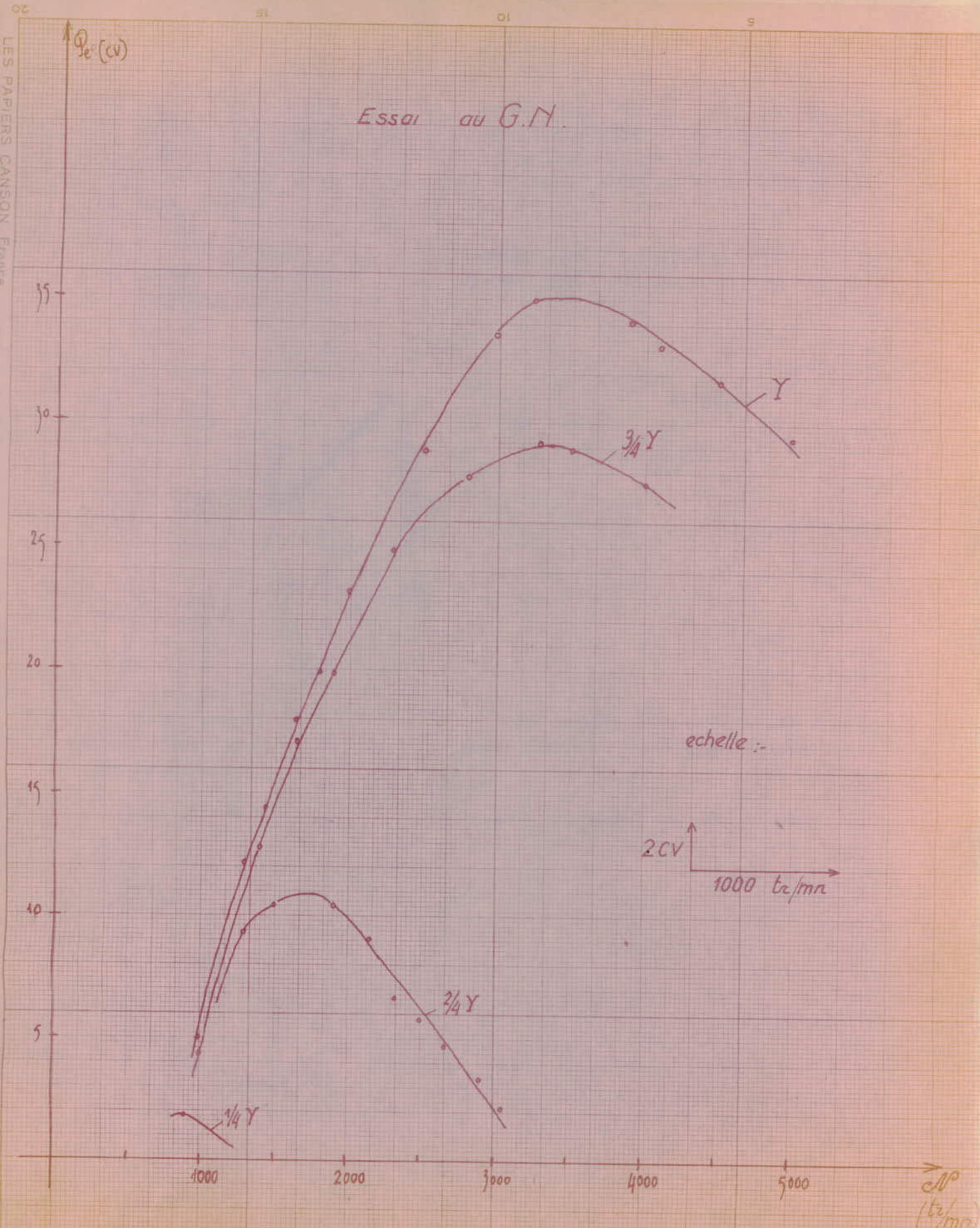
charge à 3/4 Y

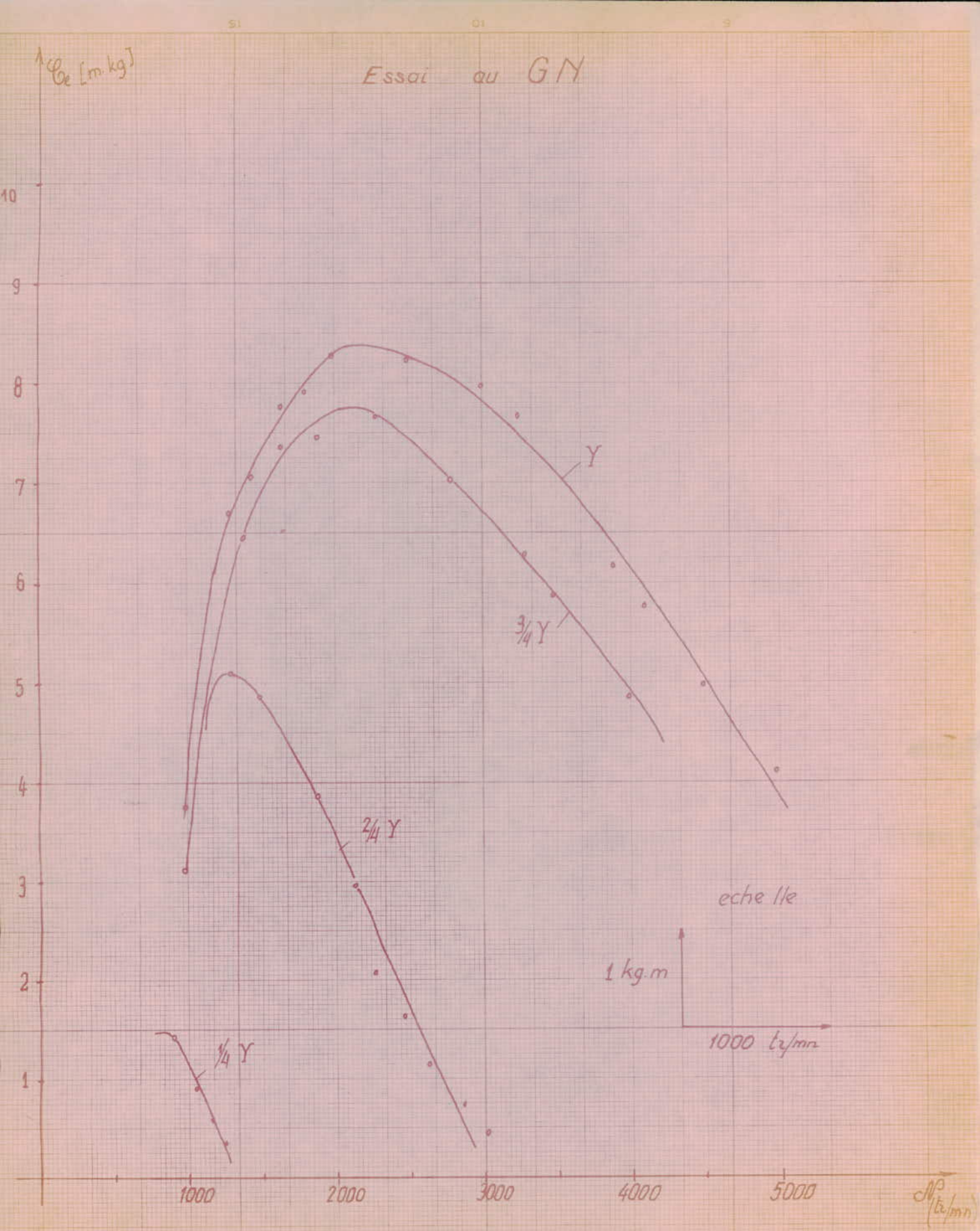
CV (k/m)	F (kgf)	P <sub>e</sub> (C.V)	G <sub>e</sub> (kg/m)	S <sub>a</sub> g/s	S <sub>s</sub> (g/cv.h)	Z <sub>e</sub>
1000	4.4	4.4	3.15	0.93	420	0.13
1400	9.1	12.8	6.5	0.95	267.1	0.22
1650	10.35	17.0	7.41	1.04	219.3	0.26
1900	10.45	19.8	7.48	1.09	197.6	0.29
2300	10.85	24.9	7.77	1.2	173.1	0.33
2800	9.9	27.9	7.09	1.33	171.4	0.34
3300	8.9	29.3	6.37	1.4	171.6	0.34
3500	8.3	29.3	5.94	1.62	199.8	0.29
4000	6.9	27.6	4.94	2.03	265	0.22

charge à 2/4 Y

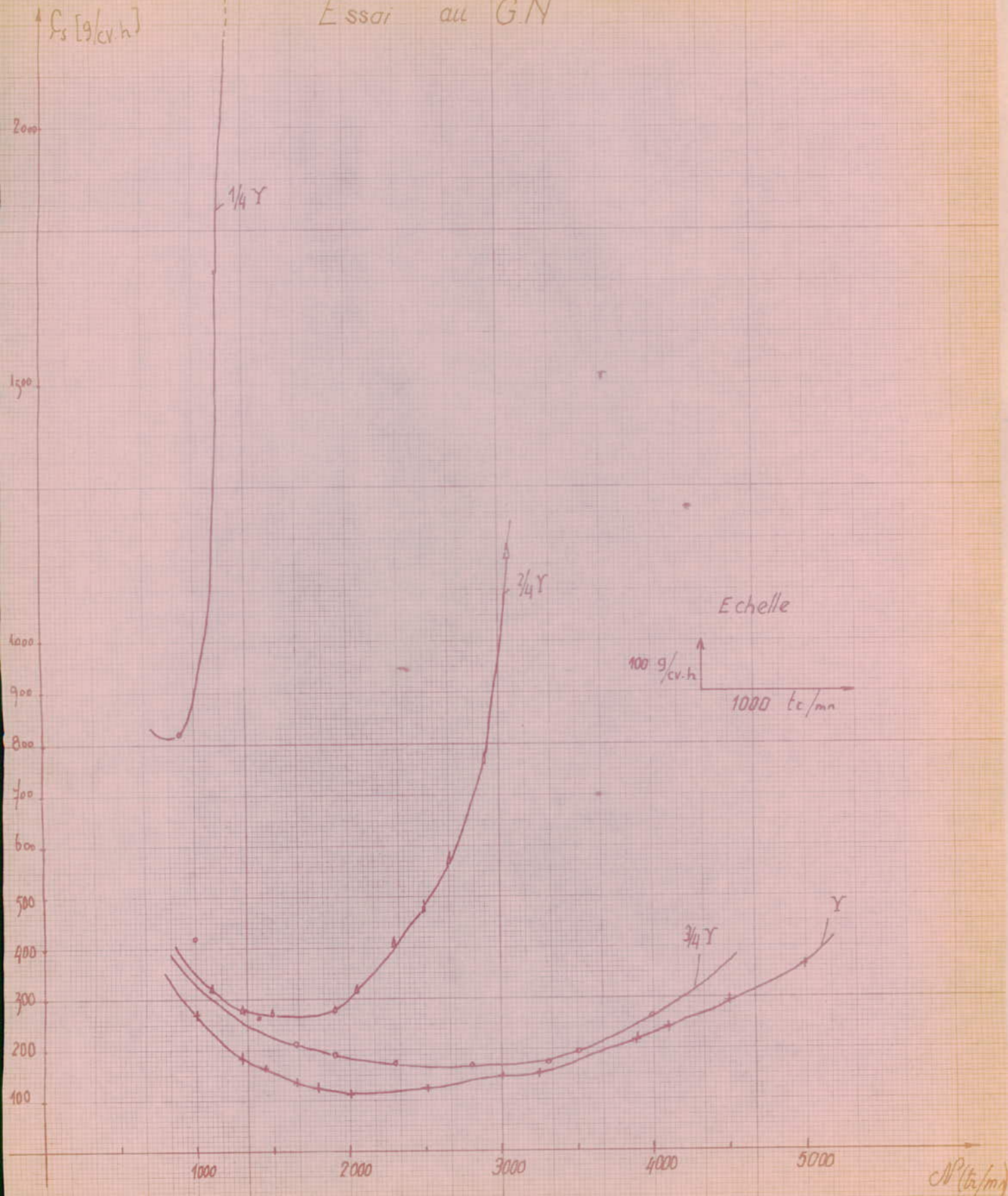
CV (k/m)	F (kgf)	P <sub>e</sub> (C.V)	G <sub>e</sub> (kg/m)	S <sub>a</sub> (g/s)	S <sub>s</sub> (g/cv.h)	Z <sub>e</sub>
1100	7.3	8.03	5.22	0.72	322.7	0.18
1300	7.15	9.29	5.12	0.72	299.0	0.21
1500	6.9	10.35	4.94	0.78	271.3	0.215
1900	5.45	10.35	3.9	0.8	278.2	0.21
2300	3	6.75	2.14	0.77	410.6	0.14
2500	2.32	5.8	1.66	0.77	477.9	0.12
2660	1.78	4.7	1.27	0.75	574.5	0.10
2900	1.2	3.48	0.8	0.75	745.8	0.08

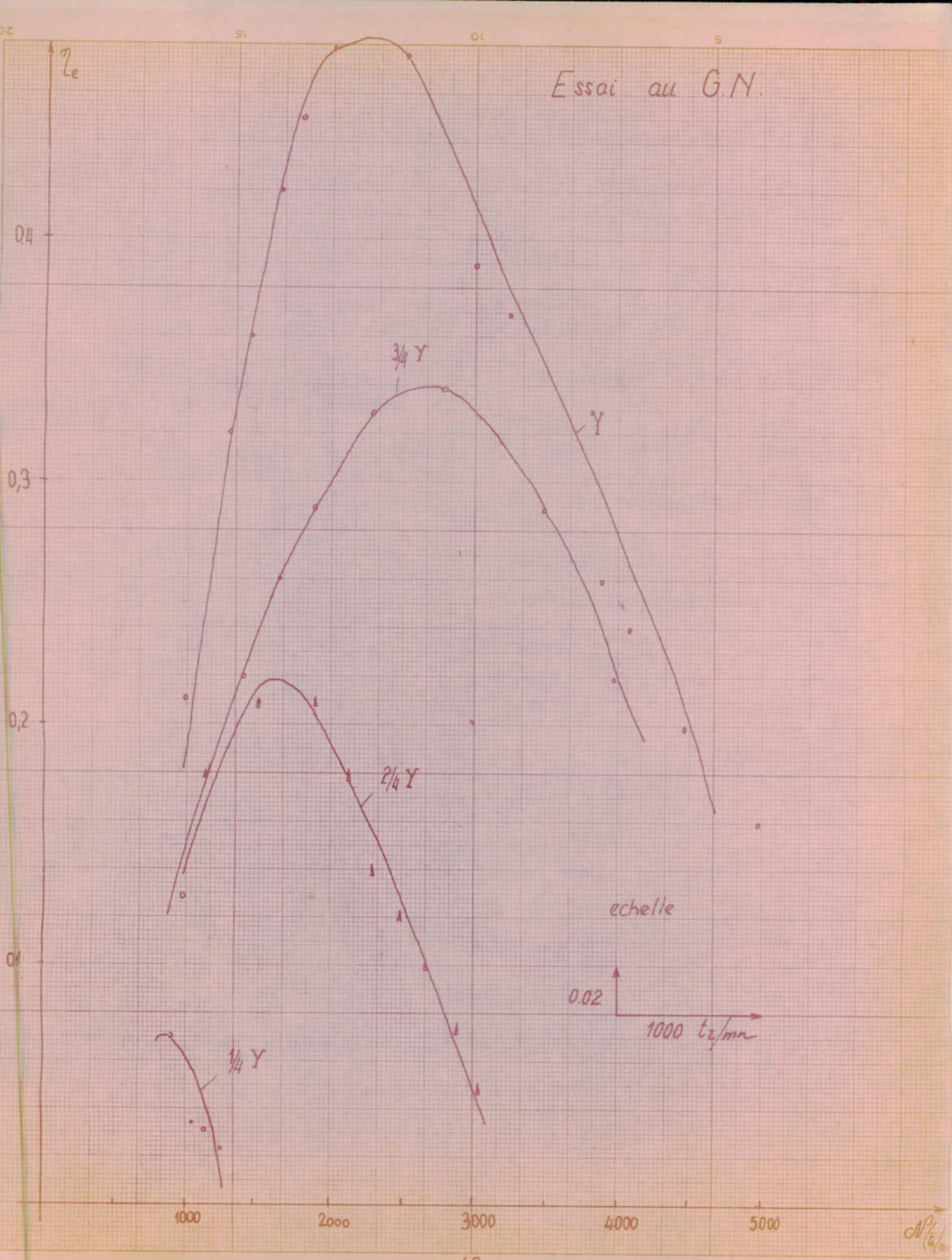
CV (k/m)	F (kgf)	P <sub>e</sub> (C.V)	G <sub>e</sub> (kg/m)	S <sub>a</sub> (g/s)	S <sub>s</sub> (g/cv.h)	Z <sub>e</sub>
900	2	1.8	1.43	0.41	820	0.071
1050	1.25	1.31	0.89	0.41	1676	0.034
1140	0.8	0.9	0.57	0.43	1720	0.032
1250	0.5	0.62	0.35	0.42	2438	0.024





# Essai au G.N





Dans cette deuxième étape d'essai au Gaz Naturel, on va essayer d'établir les variations (en fonction de la vitesse de rotation) des paramètres suivants :

- $L_{hg}$  = Consommation horaire de Gaz Naturel
- $P_e$  = Puissance effective
- $\lambda$  = Exces d'air
- $C_s$  = Consommation spécifique.

Ceci étant fait pour une même quantité (en Volume) de mélange, mais avec des proportions d'Air et de Gaz Naturel différentes.

Bien entendu, ce sera fait pour les charges  $Y(mae)$ ,  $\frac{3}{4} Y$ , ainsi que pour la demi charge.

Afin d'éviter de surcharger les courbes, on les a réparties en deux ensembles : - le premier comporte la consommation horaire ainsi que les puissances, tandis que le second, les consommations spécifiques et l'excès d'air.

• Charge (Air + GN) à  $\frac{3}{4} Y$ . ( $L_{ha}$  = consommation horaire d'Air en g/s)

$cP(kJ/mn)$	$P_e (cv)$	$L_{hg} (g/s)$	$L_{ha} (g/s)$	$C_s (g/cv.h)$	$\lambda_1$
1100	8.03	0.72	10.4	322.7	0.89
1500	10.35	0.78	12.01	271.3	0.95
1900	10.35	0.80	12.01	278.2	0.93
2300	6.75	0.77	12.74	410.6	1.02
2500	5.8	0.76	13.43	478	1.09
2900	3.48	0.74	13.4	775	1.12
3100	2.2	0.72	13.4	1178.1	1.15

1<sup>e</sup> Série de mesures

$$\left\{ \begin{array}{l} \text{Carburant: G.N.} \\ P.C.I = 10837 \text{ kcal/kg} \\ P = 0.83 \text{ g/cm}^3 \end{array} \right.$$

$cP(kJ/mn)$	$P_e (cv)$	$L_{hg2} (g/s)$	$L_{ha} (g/s)$	$C_s2 (g/cv.h)$	$\lambda_2$
1000	2.4	0.51	9.2	765	1.11
1500	7.8	0.52	12.8	240	1.52
2000	8.6	0.52	16.4	219.7	1.93
2200	7.4	0.53	17.8	257.8	2.08
2500	4.8	0.53	19.9	397.5	2.33

2<sup>e</sup> Série de mesures

Les courbes représentatives de ces données se trouvent en page - 52 -

Ces deux séries de mesures ont été prises le 17/11/79.  
La température ambiante était de  $T_a = 16^\circ C$   
La pression barométrique était aussi de  $P_a = 756 \text{ mm Hg}$ .

• Charge (Air + G.N) à 3/4 Y

c.P (k/mn)	P <sub>e1</sub> (cv)	L <sub>hg1</sub> (g/s)	L <sub>ha</sub> (g/s)	L <sub>s1</sub> (%cv.h)	$\lambda_1$	1°
1000	4.4	0.93	14.4	420	1.75	S
1400	12.8	0.95	14.7	267.1	0.96	E
1650	17.0	1.04	16.9	219.3	1.00	R
1900	19.8	1.09	18.0	197.6	1.02	I
2300	24.9	1.2	20.8	173.1	1.07	E
2800	27.9	1.33	23.2	151.1	1.08	R
3300	29.3	1.4	25.5	131.6	1.13	I

Carburant : G.N

$$\begin{cases} p.c.i = 10837 \text{ kcal/kg} \\ p = 0.83 \text{ g/cm}^3 \end{cases}$$

Gicleur :-

$$\begin{cases} G.N : 57 \\ Air : 40 \end{cases}$$

c.P (k/mn)	P <sub>e2</sub> (cv)	L <sub>hg2</sub> (g/s)	L <sub>ha</sub> (g/s)	L <sub>s2</sub> (%cv.h)	$\lambda_2$	2°
1000	6.2	0.51	11.1	299.0	1.3	S
1500	15	0.54	15.2	129.6	1.74	E
2000	20.2	0.59	19.2	105.1	2.02	R
2200	21.2	0.63	20.8	106.9	2.04	I
2500	21.5	0.70	23.4	117.2	2.07	E

press. Max de Sortie d'huile

$$P_h = 3.1 \text{ kgf/cm}^2$$

Temperature Max de Sortie d'huile

$$T_h = 86^\circ\text{C}$$

Temperature Max d'Eau

$$\text{entrée } T_e = 75^\circ\text{C}$$

$$\text{sortie } T_s = 86^\circ\text{C}$$

Temperature des G.E

$$T_g = 540^\circ\text{C}$$

c.P (k/mn)	P <sub>e3</sub> (cv)	L <sub>hg3</sub> (g/s)	L <sub>ha</sub> (g/s)	L <sub>s3</sub> (%cv.h)	$\lambda_3$	3°
1000	5.4	0.53	12.8	356.6	1.48	S
1500	12.4	0.56	15.8	162.5	1.75	E
2000	16.6	0.59	19.2	129.0	2.00	R
2200	17.3	0.62	20.4	129.0	2.04	I
2500	17.6	0.66	22.4	136.0	2.09	E
2800	16.2	0.73	24.2	162.2	2.05	R
3000	14.4	0.78	25.6	192.2	2.02	I

Ces trois séries de mesures ont été prises le 17/11/79

$$T_{amb} = 16^\circ\text{C}$$

$$P_{amb} = 756 \text{ mm Hg}$$

Les courbes représentatives se trouvent en page -53-54-

• Charge (Air + G.N) maximale Y

$cP(\text{fc/mn})$	$P_e (\text{cv})$	$S_{h_1} (\text{g/s})$	$F_{h_1} (\text{g/s})$	$S_{s_1} (\text{g}_{\text{fr},h})$	$\lambda_1$
1300	12.2	0.62	16.9	182.9	1.70
1450	14.4	0.65	18.0	162.5	1.72
1650	18.0	0.69	19.9	138	1.79
1800	20.0	0.71	20.8	127.8	1.81
1980	23.2	0.72	22.4	111.7	1.93
3000	33.6	1.38	29.4	107.8	1.32
3250	35.1	1.52	30.0	155.8	1.22
3900	34.2	2	35.0	219.5	1.08
4100	33.2	2.5	36.0	239.8	0.89

Carburant G.N.

$$\left\{ \begin{array}{l} \text{p.c.i} = 10837 \text{ kcal/kg} \\ P = 0.83 \text{ g/cm}^3 \end{array} \right.$$

Gicleur

$$\left\{ \begin{array}{l} \text{G.N} : 57 \\ \text{Air} : 40 \end{array} \right.$$

$$P_b = 2.8 \text{ kgf/cm}^2$$

$$T_h = 80^\circ \text{C}$$

$$T_e = 65^\circ \text{C}$$

$$T_s = 75^\circ \text{C}$$

$$T_g = 450^\circ \text{C}$$

$cP(\text{fc/mn})$	$P_{e2} (\text{cv})$	$S_{h_2} (\text{g/s})$	$F_{h_2} (\text{g/s})$	$S_{s_2} (\text{g}_{\text{fr},h})$	$\lambda_2$
1000	8	0.43	11.4	195.7	1.62
1500	14.8	0.45	14.8	110.6	2.01
2000	22.4	0.51	18.2	81.9	2.21
2200	24.4	0.53	19.4	78.1	2.27
2500	26.8	0.58	21.4	79	2.29
2800	28.7	0.63	23.4	79.6	2.28
3000	29.8	0.64	24.8	81.5	2.28
3200	28.5	0.73	26.1	92.8	2.20
3500	27.7	0.86	28.2	111.7	2.0

$cP(\text{fc/mn})$	$P_{e3} (\text{cv})$	$S_{h_3} (\text{g/s})$	$F_{h_3} (\text{g/s})$	$S_{s_3} (\text{g}_{\text{fr},h})$	$\lambda_3$
1000	8.45	0.50	12.8	213.0	1.98
1500	14.7	0.53	16.8	129.7	1.96
2000	19.4	0.59	20.8	109.4	2.18
2500	22.8	0.69	24.6	108.9	2.21
3000	24	0.86	28.8	129	2.0

Date de prise de mesure : Dimanche 10/11/1979.

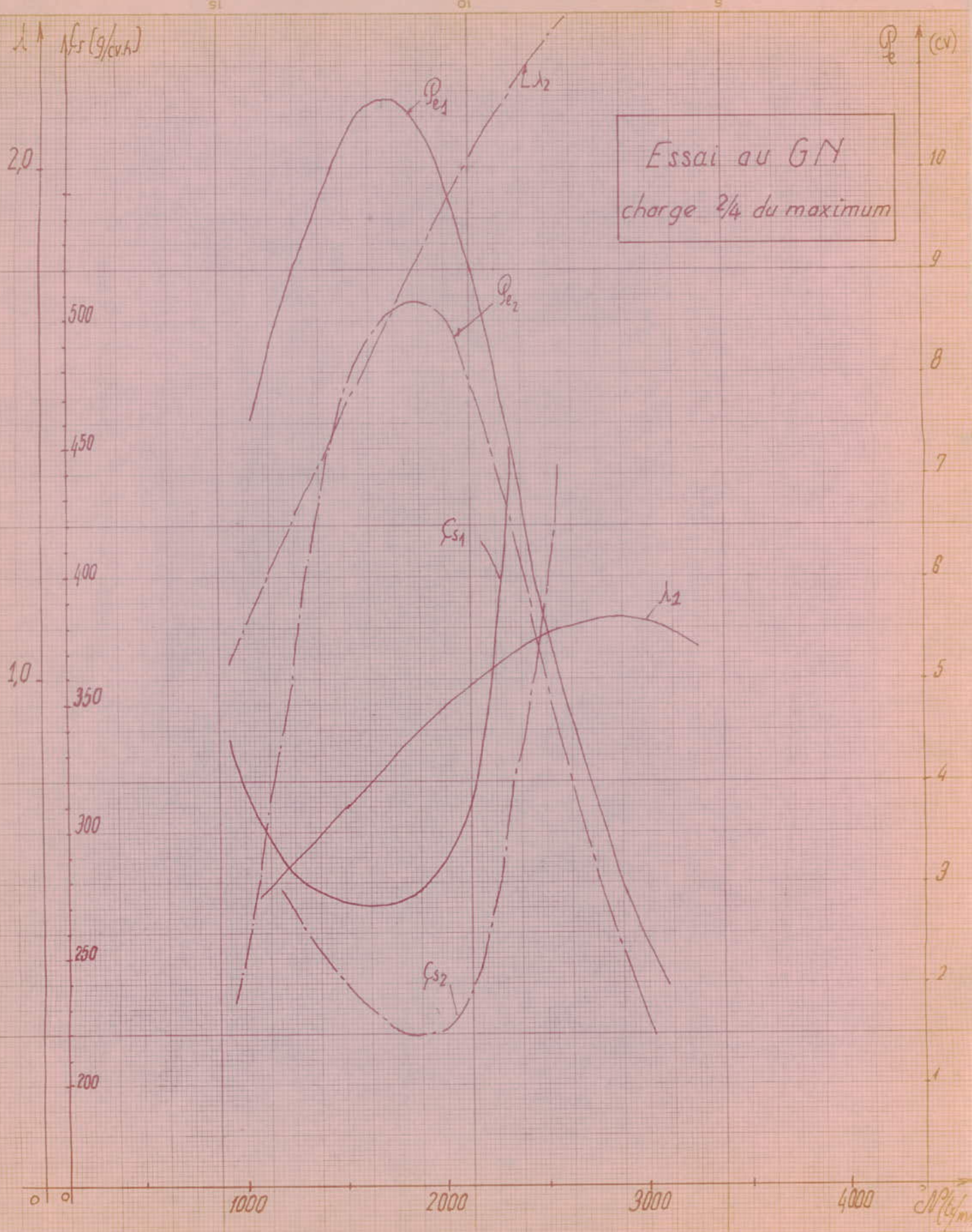
La température ambiante a été de

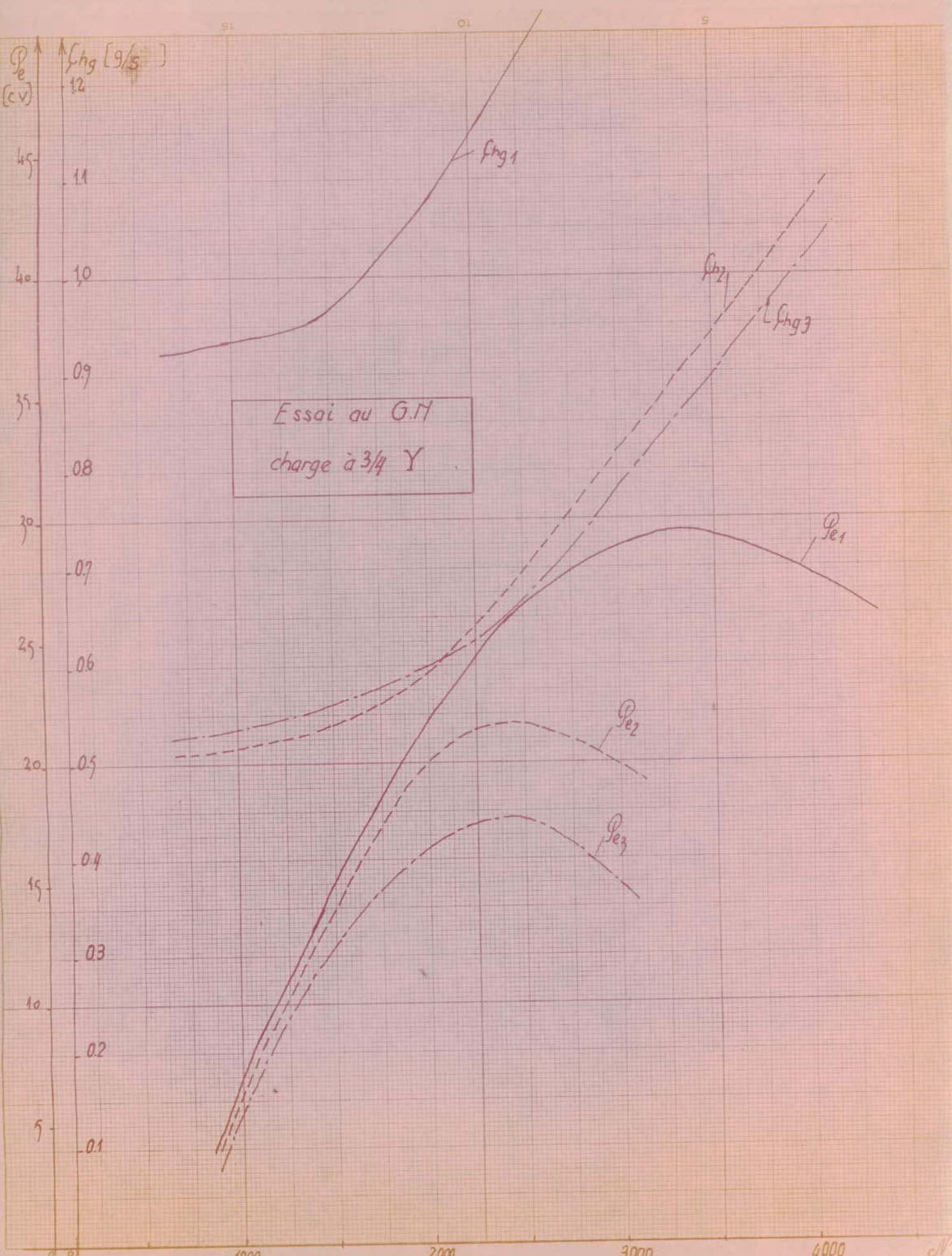
$$T_{am} = 19^\circ \text{C}$$

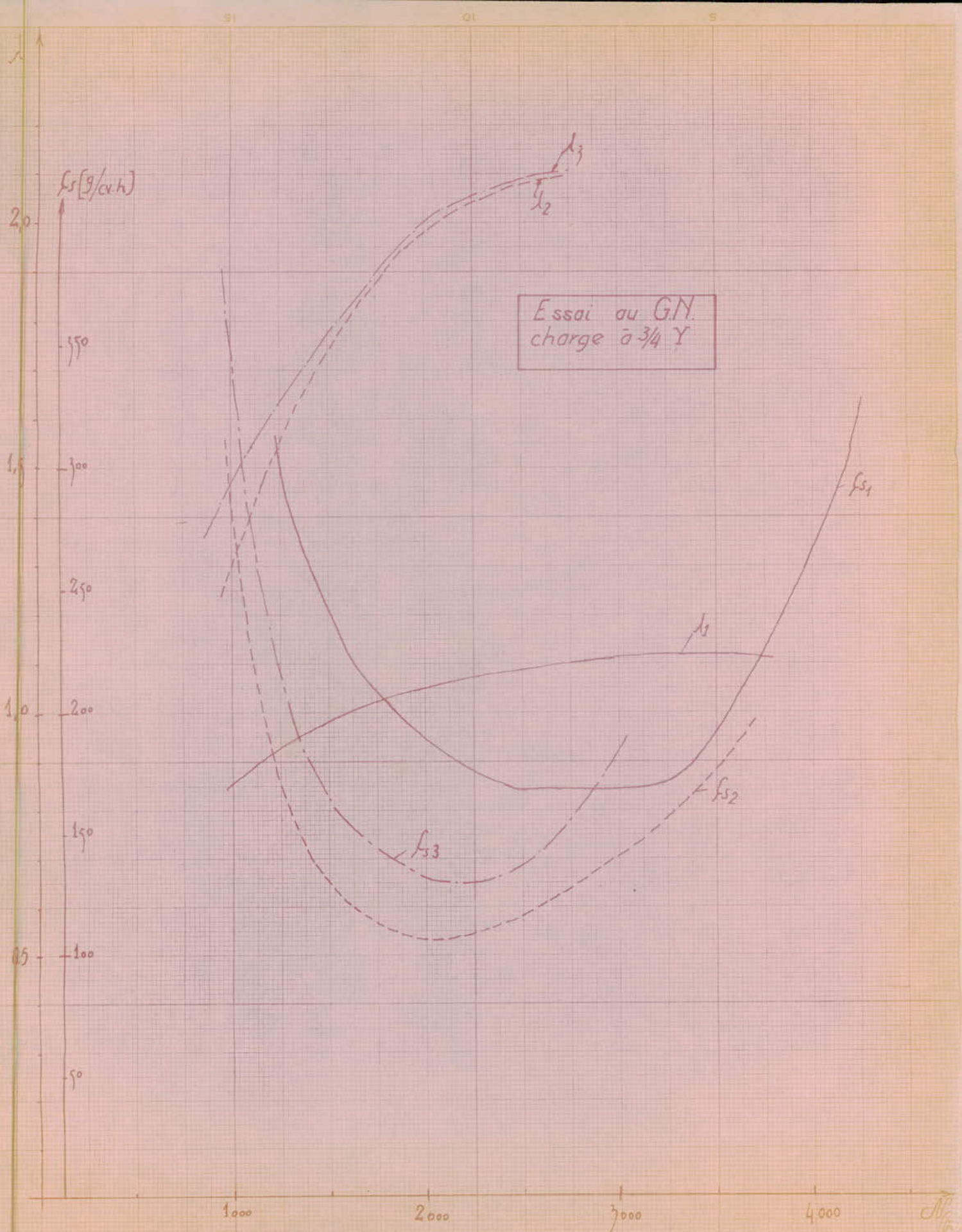
et la pression barométrique de

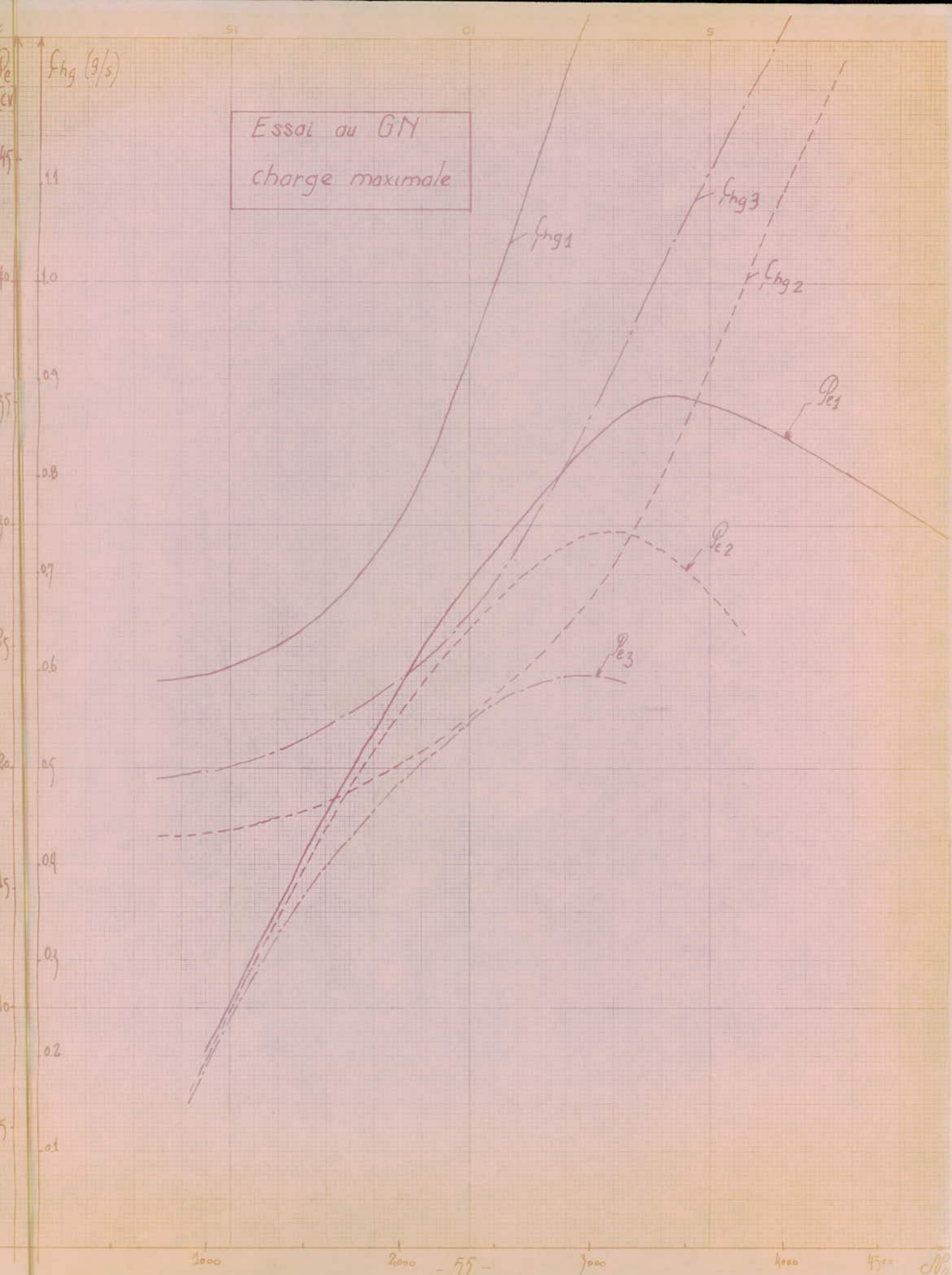
$$P_b = 759 \text{ mm Hg}$$

les courbes représentatives se trouvent en page :- 55-56.

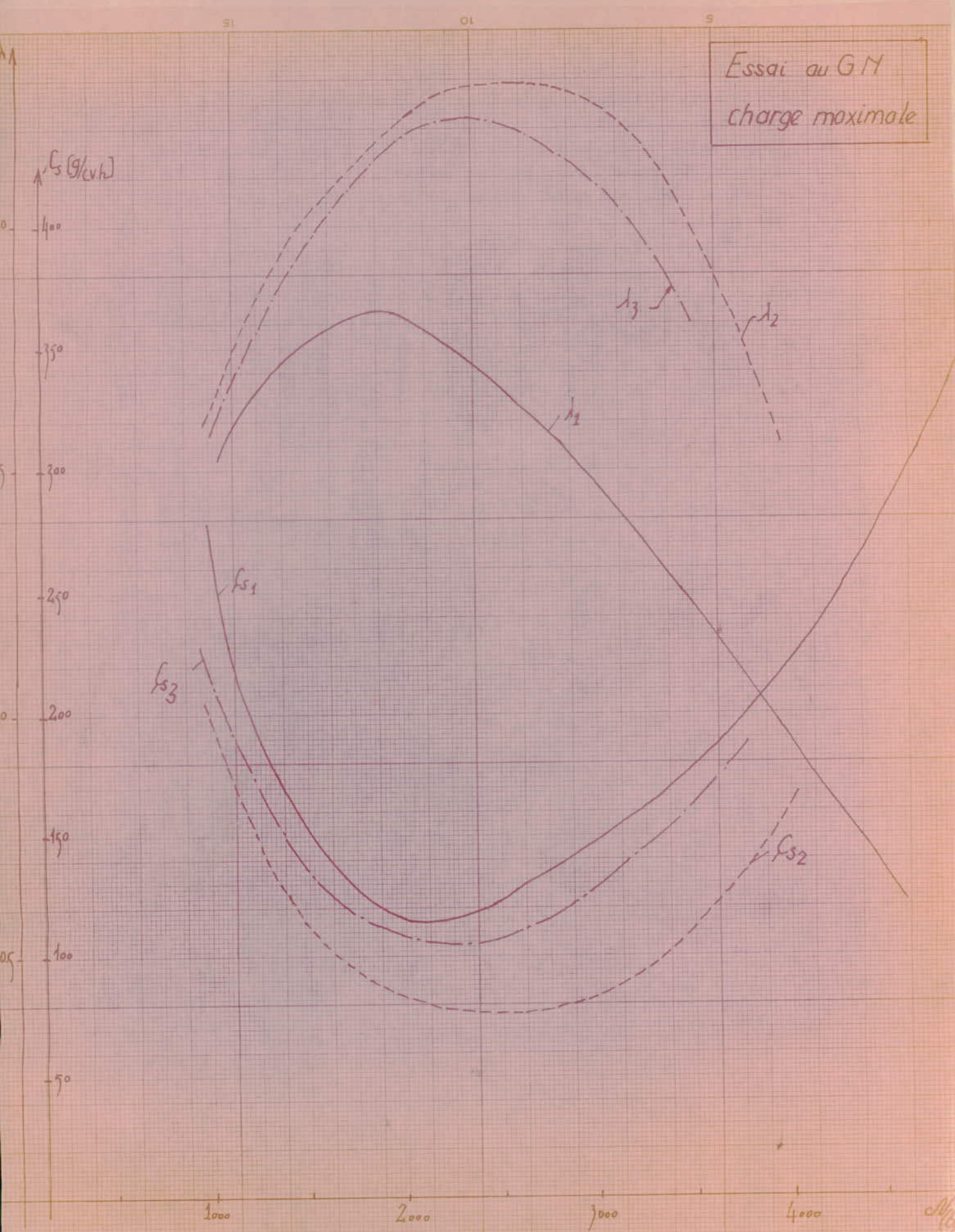






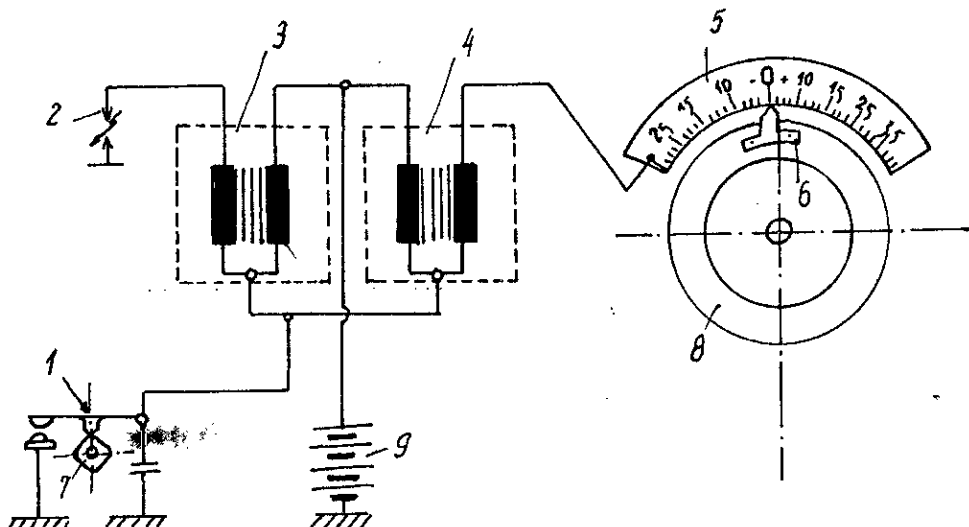


Essai au GM  
charge maximale



Dans ce dernier chapitre d'essai sur Gaz Naturel, on se propose d'étudier l'influence de "l'avance" à l'allumage sur les paramètres principaux.

Par nécessité, on a été obligé d'installer un dispositif, qui à son tour nous permettra d'effectuer les mesures d'"Avances".  
Ce dispositif est simple et est décrit dans le schéma suivant :-



- 1 - Rupteur
- 2 - Bougie
- 3 - Bobine initiale
- 4 - Bobine supplémentaire
- 5 - Secteur gradué et monté fixe sur bloc moteur
- 6 - Aiguille montée sur volant moteur
- 7 - Came
- 8 - Volant moteur
- 9 - Batterie

#### IV Mesures

##### IV-1. Avances à Ouverture du papillon de G.N. fixe.

On a pris la position maximale ( $\gamma$ ) d'ouverture du papillon (maintenue fixe pendant toute la durée d'essai) et par petites rotations manuelles sur l'allumeur, on déterminait ainsi une courbe de puissance en fonction de l'angle d'avance (ceci bien entendu à des vitesses fixes aux départ.).

Ces familles de courbes obtenues se trouvent en page :- 60 et ont été établies pour les vitesses suivantes :-

$$n = 1500 \text{ tr/mn}$$

$$n = 2000 \text{ -- --}$$

$$n = 2500 \text{ -- --}$$

$n = 1500$  tr/min . Y

$\theta^\circ$	F (kgf)	$P_e$ (cv)
8	8.2	12.3
12	9.1	13.65
18	10	15
25	10.8	16.2
33	11.2	16.8
44	11	16.5
55	9.1	13.6

Carburant GN

$$\begin{cases} p_{ci} = 10837 \text{ kcal/kg} \\ p = 0.83 \text{ g/cm}^3 \end{cases}$$

$$\begin{cases} \text{Gicleurs} & \{ \text{GN} : 57 \\ \text{Air} & : 40 \end{cases}$$

Pression max de sortie d'huile

$$P_h = 2,8 \text{ kN/cm}^2$$

$$T_h = 60^\circ\text{C}$$

Temperatures Maxi pour l'Eau

$$\text{Entrée } T_e = 44^\circ\text{C}$$

$$\text{Sortie } T_s = 54^\circ\text{C}$$

Temperature Maxi des G. E

$$T_g = 450^\circ\text{C}$$

$n = 2000$  tr/min . Y

$\theta^\circ$	F (kgf)	$P_e$ (cv)
7	4.7	9.4
12	6.85	13.7
20	9.2	18.4
27	10.2	20.4
34	10.8	21.4
47	10.5	21
55	9	18

$n = 2500$  tr/min . Y

$\theta^\circ$	F (kgf)	$P_e$ (cv)
23	9.5	23.7
29	10.2	25.5
33	10.7	26.7
40	11.3	28.2
49	11.5	28.7
55	10.8	27
59	9.6	24

Essais effectués le : - 20/11/79

La température ambiante a été de :  $T_0 = 17^\circ\text{C}$

la pression barométrique " " "  $P_b = 759 \text{ mm Hg}$

#### IV-2. avances à vitesse constante

pour cela, on avait pris une vitesse ( $n = 1500 \text{ tr/mn}$ ) que l'on maintenait constante, puis on recommençait les petites rotations manuelles sur l'allumeur. Pour chaque position du papillon du Gaz Naturel, on déterminait une courbe donnant la consommation spécifique en fonction de l'angle d'avance.

Cette famille de courbes se trouve en page 61.

Régime max (Y)  $n = 1500 \text{ tr/mn}$

$\theta^\circ$	F (kg)	P_e (cv)	$f_{tg} (\text{g/s})$	$f_s (\text{g/cv.h})$
24	10.4	15.6	0.62	144.2
30	10.9	16.39	0.6	132.1
42	11.15	16.72	0.57	122.7
49	11	16.5	0.52	118.5
55	10.65	15.9	0.52	118.8

Carburant G.T

$$\left\{ \begin{array}{l} p_{ci} = 10839 \text{ kcal/kg} \\ p = 0.8 \text{ g/cm}^3 \end{array} \right.$$

Régime  $3/4 Y$   $n = 1500 \text{ tr/mn}$

$\theta^\circ$	F (kg)	P_e (cv)	$f_{tg} (\text{g/s})$	$f_s (\text{g/cv.h})$
11	11.1	16.65	0.525	113.5
20	12.85	18.37	0.539	105.2
28	12.8	19.2	0.525	98.4
36	12.9	19.35	0.539	99.9
42	12.65	18.97	0.55	104.3
45	12.5	18.75	0.56	107.5
48	12.1	18.15	0.59	117.0
53	11.5	17.25	0.6	125.2

Même conditions  
de  
Travail que précédemment

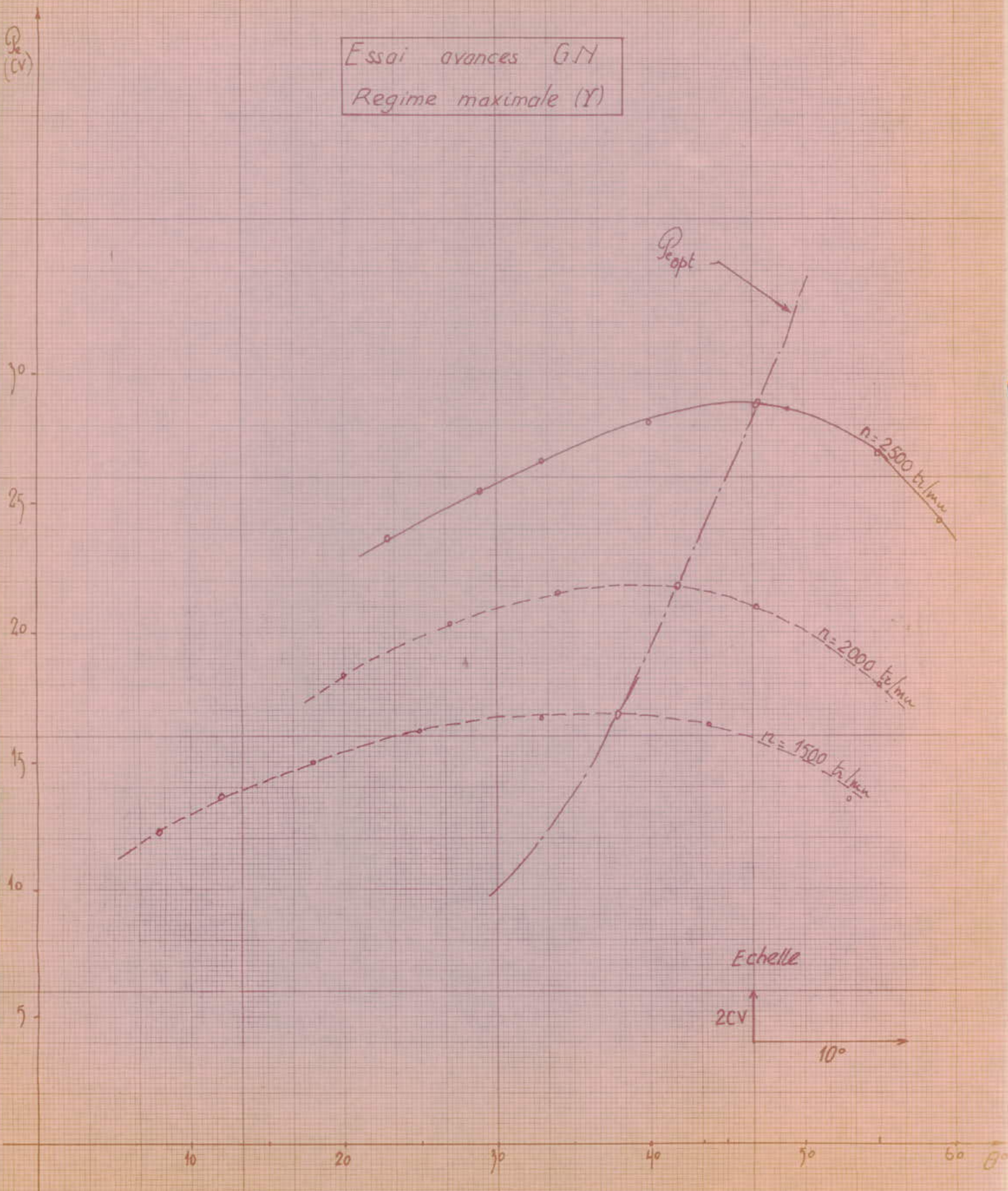
Régime  $3/4 Y$   $n = 1500 \text{ tr/mn}$

$\theta^\circ$	F (kg)	P_e (cv)	$f_{tg} (\text{g/s})$	$f_s (\text{g/cv.h})$
1	9.2	17.8	0.35	90.8
5	9.3	13.98	0.34	89.5
10	9.5	14.29	0.33	83.1
15	9.3	13.95	0.31	80
20	8.8	13.23	0.30	81.6
28	7.1	10.71	0.25	84
32	6.6	9.93	0.24	87
38	5.7	8.60	0.22	92

Ces mesures ont été prises le : 20/11/79  
la température était :  $T_a = 17^\circ C$   
la pression était :  $p_a = 759 \text{ mm Hg}$

Essai avances GM

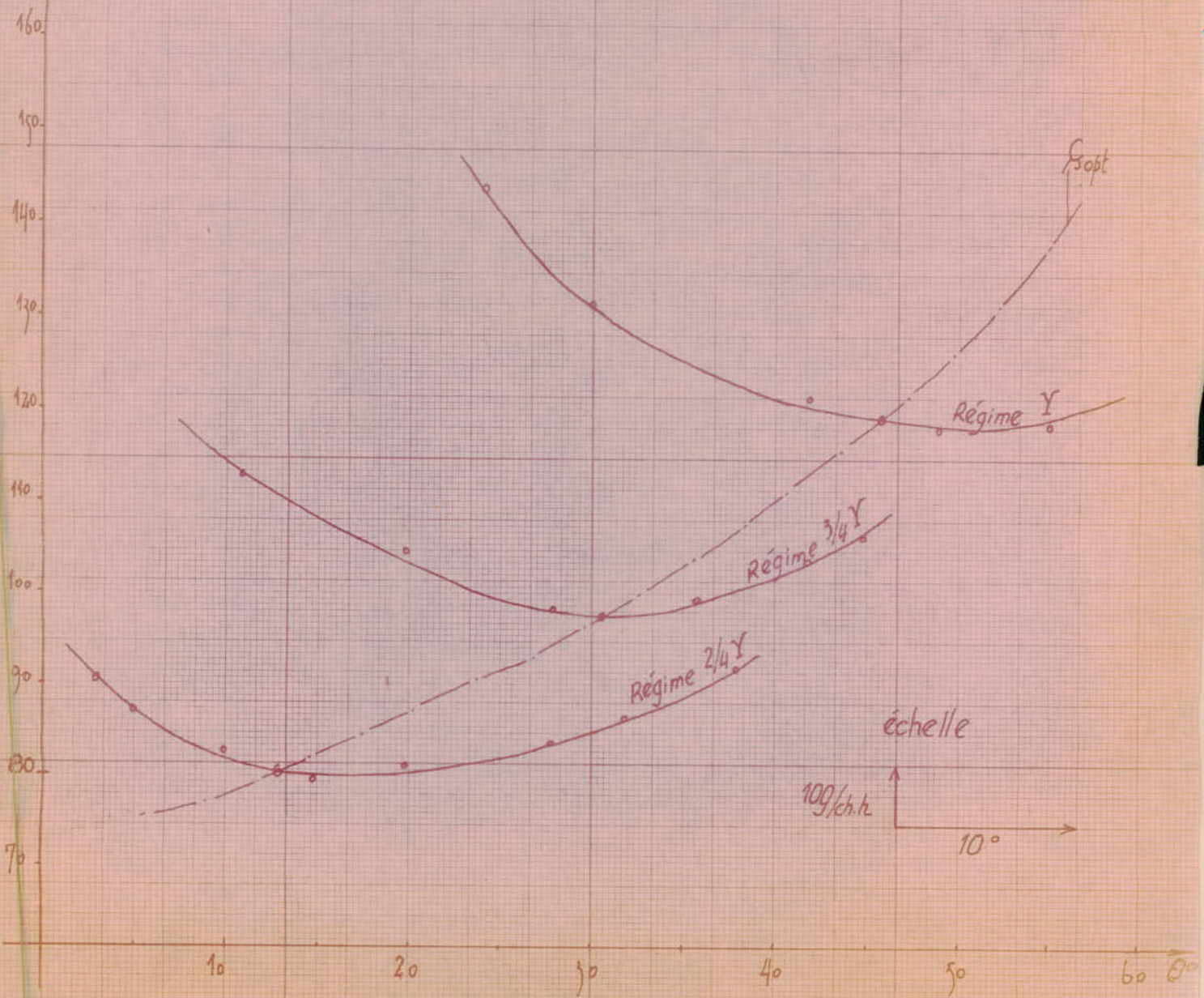
Régime maximale ( $\gamma$ )



Essai Avance GNY

Vitesse C<sup>te</sup> n=1500 tr/min

↑ f<sub>s</sub> (g/cv.h)



# Interpretations et Suggestions

Les résultats obtenus étaient en quelques sortes prévisible sinon attendus ; Ils sont assez médiocres et ne nous avaient pas permis de faire une meilleure interprétation.

Pour ne pas tomber dans la répétition , on n'a pas détaillé dans les comparaisons G.N - Essence Car ceci avait fait l'objet de projets dans les années précédentes .

## I Comparaison de performances entre fonctionnement au G.N ( $\lambda=1,1$ ) et Essence ( $\lambda=0,9$ )

### I-1 Puissance :-

Les courbes se présentent avec la même allure , Cependant on enregistre des pertes relatives au G.N qui s'évaluent approximativement à :-

- 50 % aux bas régimes ( $N < 2000 \text{ tr/mn}$ )
- 25 % aux régimes moyens ( $2000 \leq N \leq 3500 \text{ tr/mn}$ )
- 40 % aux grandes vitesses ( $N > 3500 \text{ tr/mn}$ )

### I-2 Couple :-

les courbes changent d'allure aux bas régimes , et dans ce cas pour le G.N , l'accroissement est très sensible . Toute fois les pertes enregistrées sont de l'ordre de :-

- 50 % bas régimes
- 10÷20 % régimes moyens
- 30÷40 % Grandes vitesses .

### I-3 Consommation Spécifique

Pour de faibles accélérations , les deux courbes sont presque équivalentes . Cependant , aux grandes et moyennes vitesses et à pleine ouverture (des papillons) on enregistre un gain appréciable (relatif du G.N par rapport à l'essence) de l'ordre de 10 %

### I-4 Rendement

Le rendement global présente des gains à tout les niveaux de fonctionnement , Ceci vérifie la théorie .

### I-5 Conclusion

En première conclusion on dira que malgré les gains enregistrés aux consommations spécifiques et aux rendements , les pertes de couple et de puissance restent relativement importants .

Cependant les plus faibles pertes se situent dans la

zone des vitesses de rotations modérées ( $2000 \leq N \leq 3500$  tr/min) qui correspondent sur des véhicules à des vitesses linéaires de  $60 \text{ à } 100$  km/h. Cette fourchette de vitesses est de loin la plus utilisée par les automobilistes.

L'Avance à l'allumage et la Richesse sont deux paramètres qui, suivant leur réglage, peuvent influer sur les performances du moteur.

## II L'Avance à l'allumage.

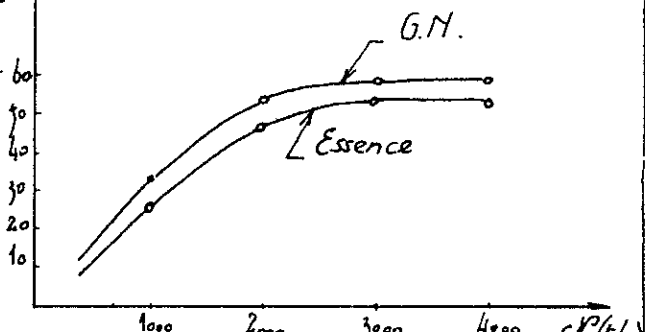
La vitesse de déflagration du mélange Air-GN est théoriquement inférieure à celle du mélange Air-Essence. Donc pour la transformation idéale, l'avance à l'allumage doit être augmentée.

Certains constructeurs prévoient même de modifier l'arbre à came, afin d'augmenter la durée de séjour du mélange dans le cylindre.

### II-1 Constataction

On a constaté en pratique pour la marche au G.N., le degré d'avance à l'allumage doit être toujours supérieur à celui de l'Essence (pour une même vitesse).

- D'autre part on a constaté que les maximums des 2 courbes se trouvent décalés.
- Ainsi pour différentes gammes de vitesses, la différence entre les deux courbes est variable.



De ceci on en déduit que les dispositifs d'avance du moteur ne répondent pas aux exigences du fonctionnement au G.N.

### II-2 Suggestion

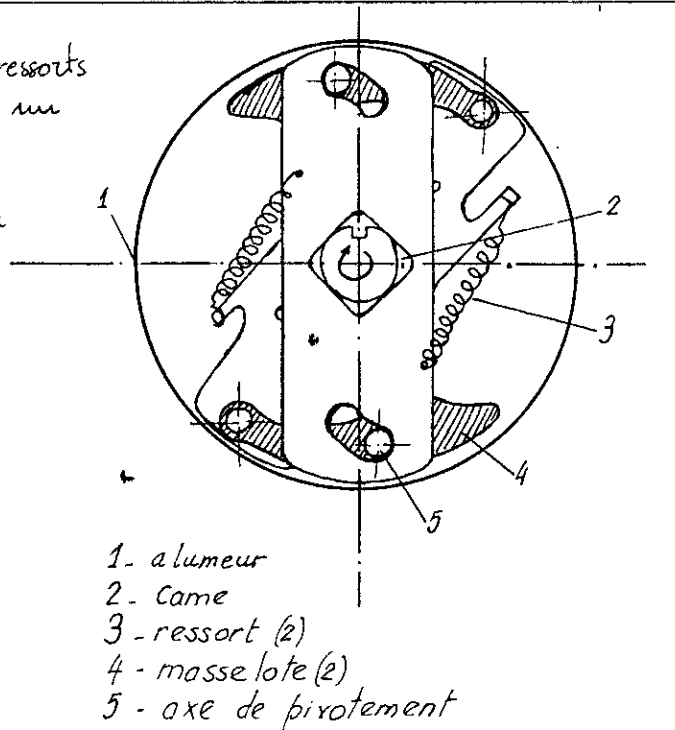
Dans les moteurs, le degré d'avance à l'allumage augmente avec la vitesse de rotation jusqu'à une limite ( $60^\circ$  dans notre cas). Cette augmentation est obtenue par l'effet de la force centrifuge, qui cesse à partir d'une certaine vitesse de rotation (3500 tr/min dans notre cas).

Dans le cas du fonctionnement au Gaz Naturel, on doit prévoir un dispositif d'avance permettant un plus grand écartement des masses  $m_1, m_2$ .

Pour cela deux solutions se présentent :-

1) on propose le remplacement des ressorts de rappel par d'autres ressorts ayant un coefficient de raideur moindre.

2) on rajoute des petites masses à celles existantes  $m_1$  et  $m_2$ .



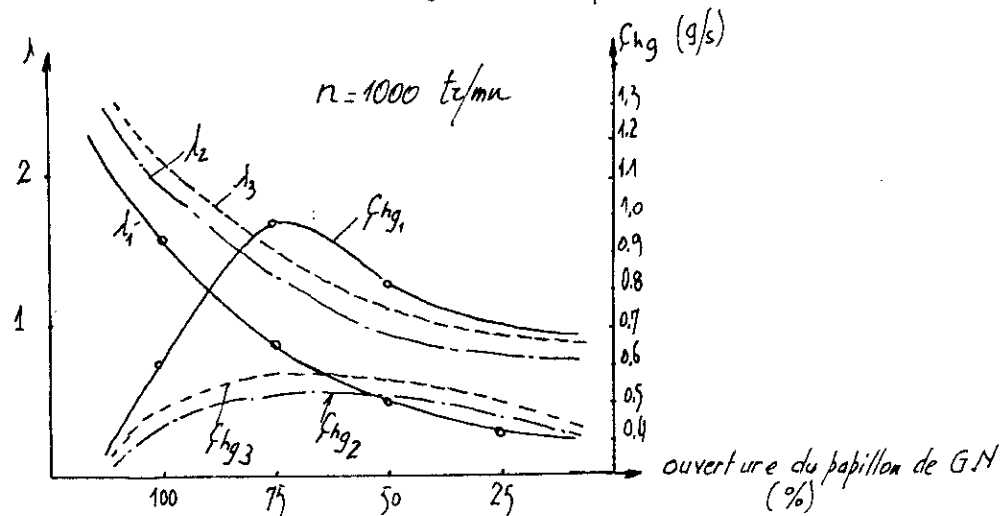
### III Influence de la richesse -

Comme on l'avait indiqué au début, la richesse d'un mélange est un des paramètres des plus essentiels.

En première remarque on a constaté (à partir des courbes en pages 52-56) que l'excès d'air varie avec l'ouverture du papillon de G.N. (à vitesse constante).

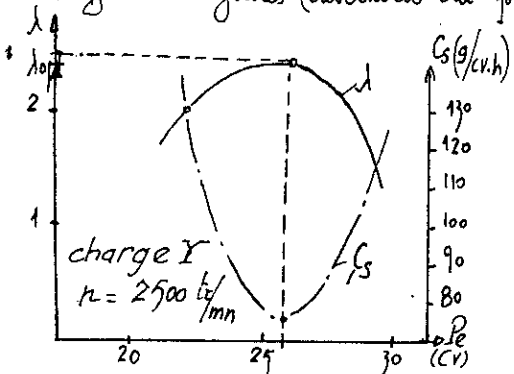
Ceci est contraire à la supposition faite au départ en disant que la richesse reste constante.

Par interpolation, pour une vitesse  $n = 1000 \text{ tr/mn}$ , on a tracé sur le graphique suivant en fonction de l'ouverture du papillon de G.N., l'excès d'air ainsi que la consommation horaire de G.N. (en 3 manipulations).



Maintenant qu'on a une idée sur le fonctionnement de ce type de mélangeur, on va essayer d'établir sa caractéristique optimale.

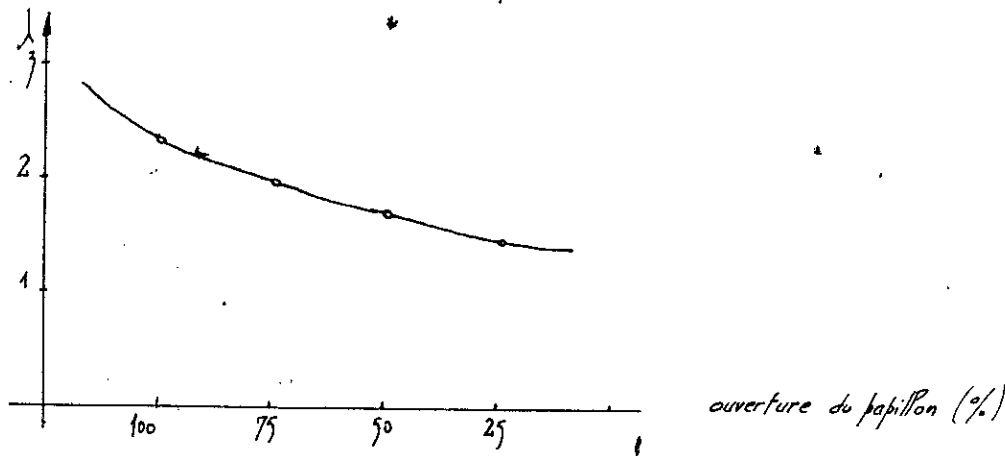
Pour cela on a interpoler des différentes courbes (citées en pages 52-56) les valeurs de la consommation spécifique, de l'Excès d'air; de la puissance pour les différents régimes (ouvertures du papillon de G.N) à vitesse constante.



on établit ces ensembles de courbe pour les différentes positions du papillon de gaz,

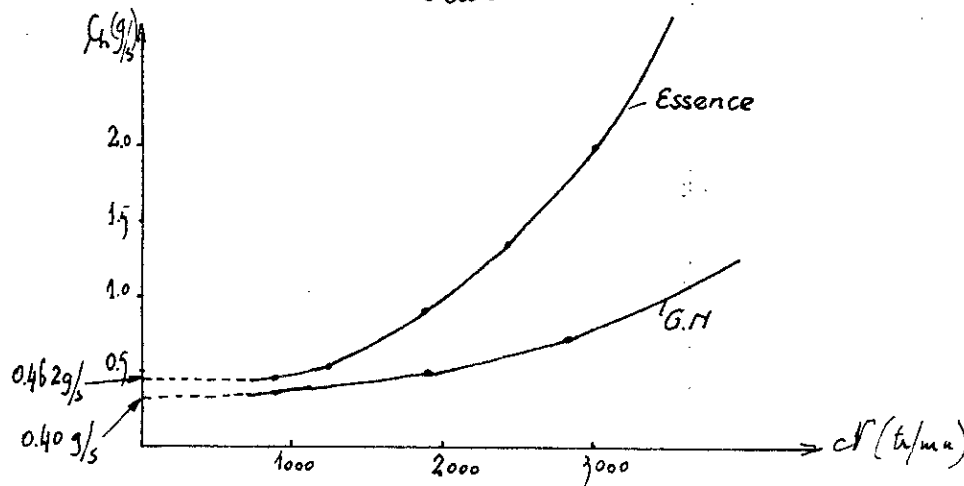
A chaque ensemble correspond un excès d'air optimum donnant une consommation spécifique minimum.

Donc pour une marche économique (en admettant une perte de puissance relative de l'ordre de 10%) le mélangeur doit avoir la caractéristique pour la vitesse de  $n=2500$  tr/min comme suit :



#### IV Suggestions Générales.

Avant d'entamer ce chapitre je voudrais attirer l'attention sur le fait suivant : Pour une puissance nulle, la consommation de G.N est faible devant la consommation d'Essence. Ceci est très important car il nous renseigne sur la consommation de ralenti.



Les idées portant sur l'amélioration des performances d'un moteur sont nombreuses, parmi les plus concluantes, on cite l'augmentation du taux de compression "E".

En effet en supposant un coefficient polytropique constant " $m$ " pour la détente et la compression, le rendement devient :

$$\eta_{\text{thé}} = 1 - \frac{1}{E^k - 1}$$

Donc si l'on augmente E,  $\eta$  augmente aussi ; mais on ne peut augmenter indéfiniment car il arrive un certain moment où l'autosallage devient inévitable.

La limite supérieure admise est (pour le G.N) de l'ordre de : - 10

L'augmentation de E est obtenue par la diminution de la chambre de combustion (en volume). Ceci est réalisé par usinage sur la Culasse.

# Conclusion

Les qualités de la combustion du Gaz Naturel au démarrage à froid, et à faibles régimes, sont telles que la diminution de la puissance maximale est largement compensée par la souplesse des reprises.

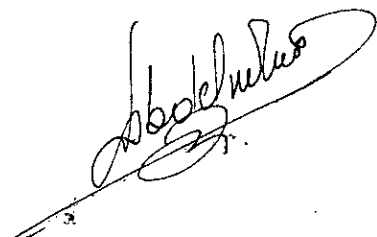
D'autre part les écarts de performances entre les versions G.N et Ess s'accompagnent d'un gain de consommation spécifique et de rendement à puissance égale au profit du G.N.

La principale difficulté de l'utilisation du Gaz Naturel comme carburant pour les véhicules est son stockage. Car il est emmagasiné dans des bouteilles sous hautes pressions, ce qui a pour effet d'augmenter le poids de ces bouteilles. Ceci n'est pas avantageux pour la charge utile du véhicule.

En outre pour des pressions de stockage de 250 bar environ, et pour de bouteilles pesant de 80 kg environs. On a trouvé, pour un véhicule, roulant à 100 km/h (à plat) une autonomie d'environ 350 km.

Ces chiffres nous donnent une idée de la difficulté en ce qui concerne le stockage de la conversion des véhicules fonctionnant à l'essence pour la marche au Gaz Naturel.

GRâce à la carburation au G.N. des moteurs à allumage commandé paraît d'un avenir prometteur, ne serait-ce que pour l'abondance des ressources, donc du coût, et de la production de gaz d'échappement moins toxiques.



## Bibliographie.

- Încercarea motoarelor cu ardere internă : M. STRATULAT ; S.D. MUÑTEANU  
Editura Tehnică - Bucureşti .
- Oxydations et Combustions (t.1) : A. VAN TIGGELEN  
Technip - Paris .
- Combaterea - P.P.E. de motoarele Autovehiculelor : A.C. Vasilescu  
Editura Academiei R.S. România .
- Revue Technique Automobile Renault "16" 8cv .
- Carburants et Combustible pour M.C.I . J WEISSMAN .
- M. MEDICI - Les Utilisations du G.N.
- These de fin d'Etude prom : 78

Trace des cycles Essence ( $\lambda=0.9$ ), Gaz Naturel ( $\lambda=1.1$ )  
et Gaz Naturel ( $\lambda=2.3$ )



### Echelles

pour le cycle essence - on a pris  $V_0 = 30 \text{ cm}$  ce qui donne  $V_c = \frac{V_0}{\lambda} = 35 \text{ cm}$   
 et  $V_{ess} = \frac{V_0}{\lambda} V_c = 8.9 \text{ cm}$ . Tandis que pour  
 l'échelle de pression 1 cm représente  $1 \text{ kgf/cm}^2$ .  
 Par planimétrie la surface du cycle utile est  
 $S_u = 214.46 \text{ cm}^2$ , et la surface perdue est  $S_p = 7.12 \text{ cm}^2$ .  
 Dans ce cas la pression moyenne indiquée sera :  
 $b_m = \frac{(S_u - S_p)}{(V_0 - V_c)} = \frac{214.46 - 7.12}{3.5 - 3.5} = 7.82 \text{ cm}$  ce qui rep-  
 resentera :  $b_{m,ess} = 7.82 \text{ kgf/cm}^2$ .

pour les cycle Gaz Naturel - Les échelles sur  $p$  et  $V$  sont identiques  
 à celles de l'essence sauf :  $V_c = 8.68 \text{ cm}$ .  
 Et par planimétrie on a obtenu pour le cycle ( $\lambda=1.1$ )  
 $S_u = 174.7 \text{ cm}^2$  et  $S_p = 7.12 \text{ cm}^2$  - d'où une pression  
 moyenne indiquée de :  $b_m = 6.32 \text{ kgf/cm}^2$ .

